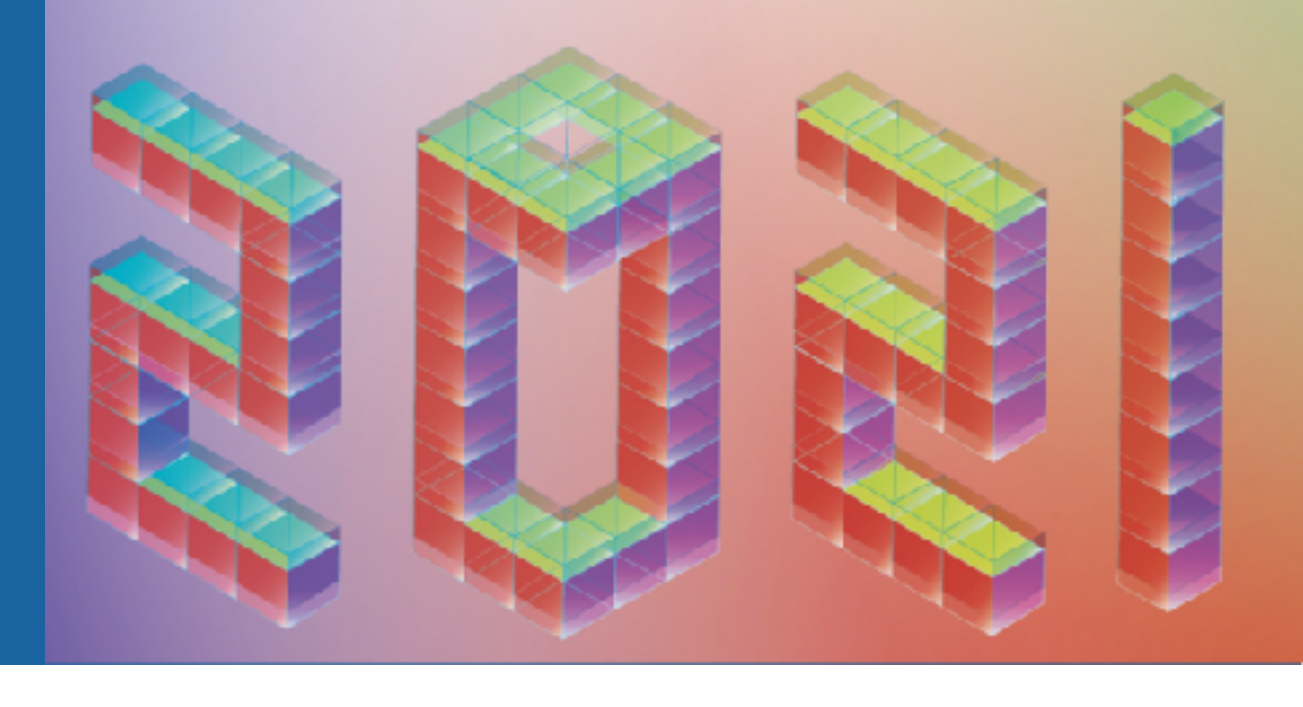
中国格点QCD第一届年会



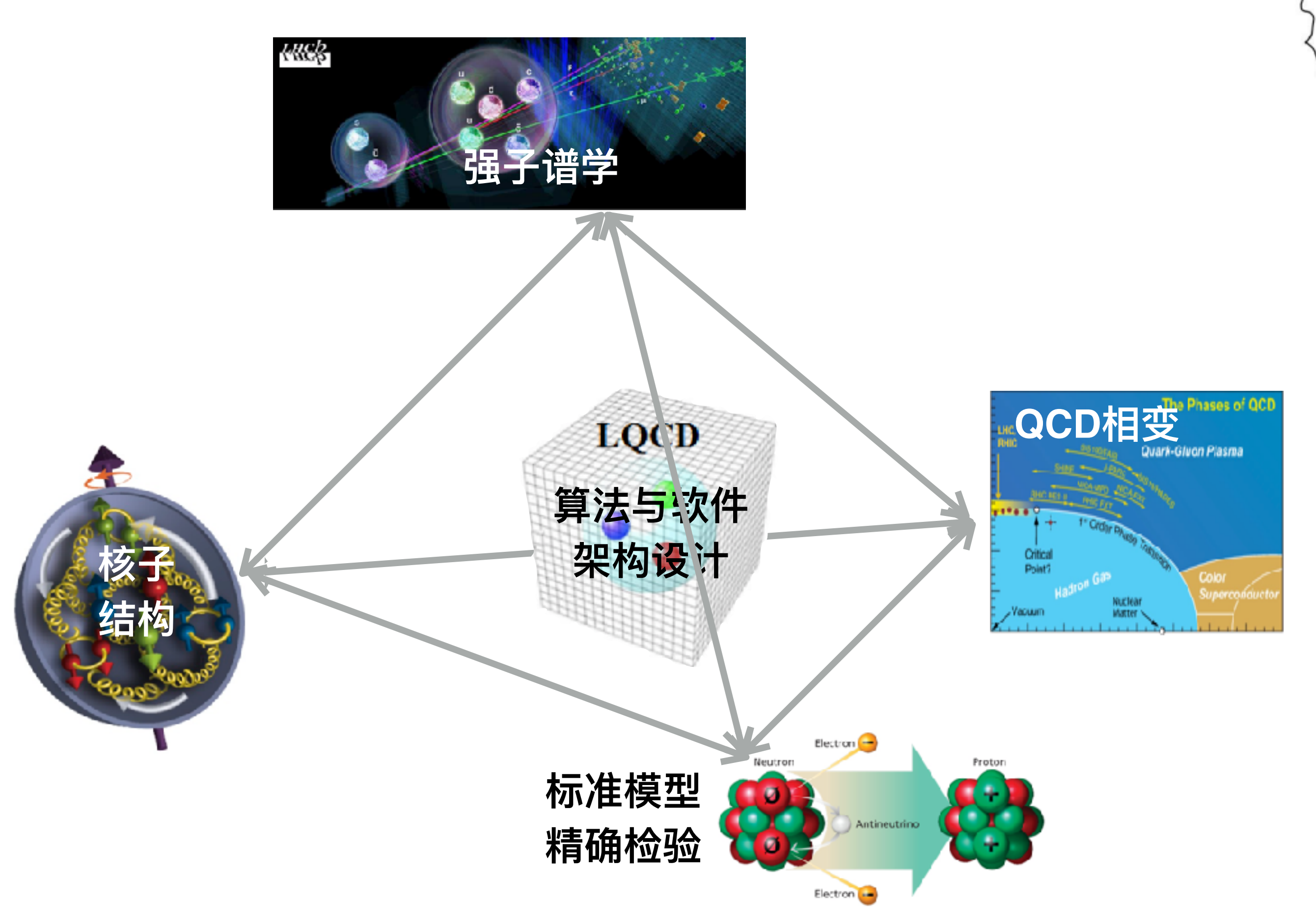
Hadron structure in China



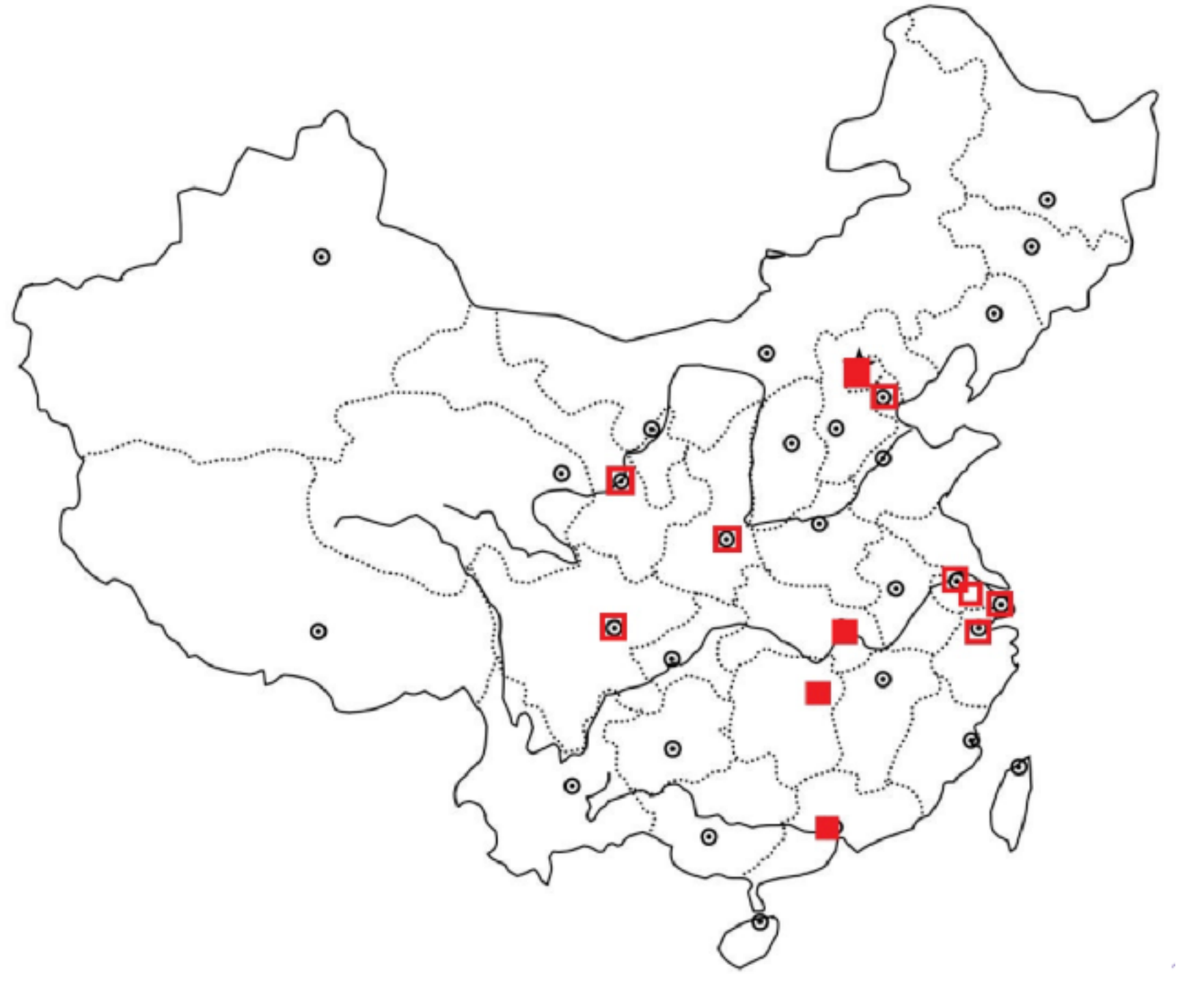
杨一玻中国科学院理论物理研究所



格点QCD在中国

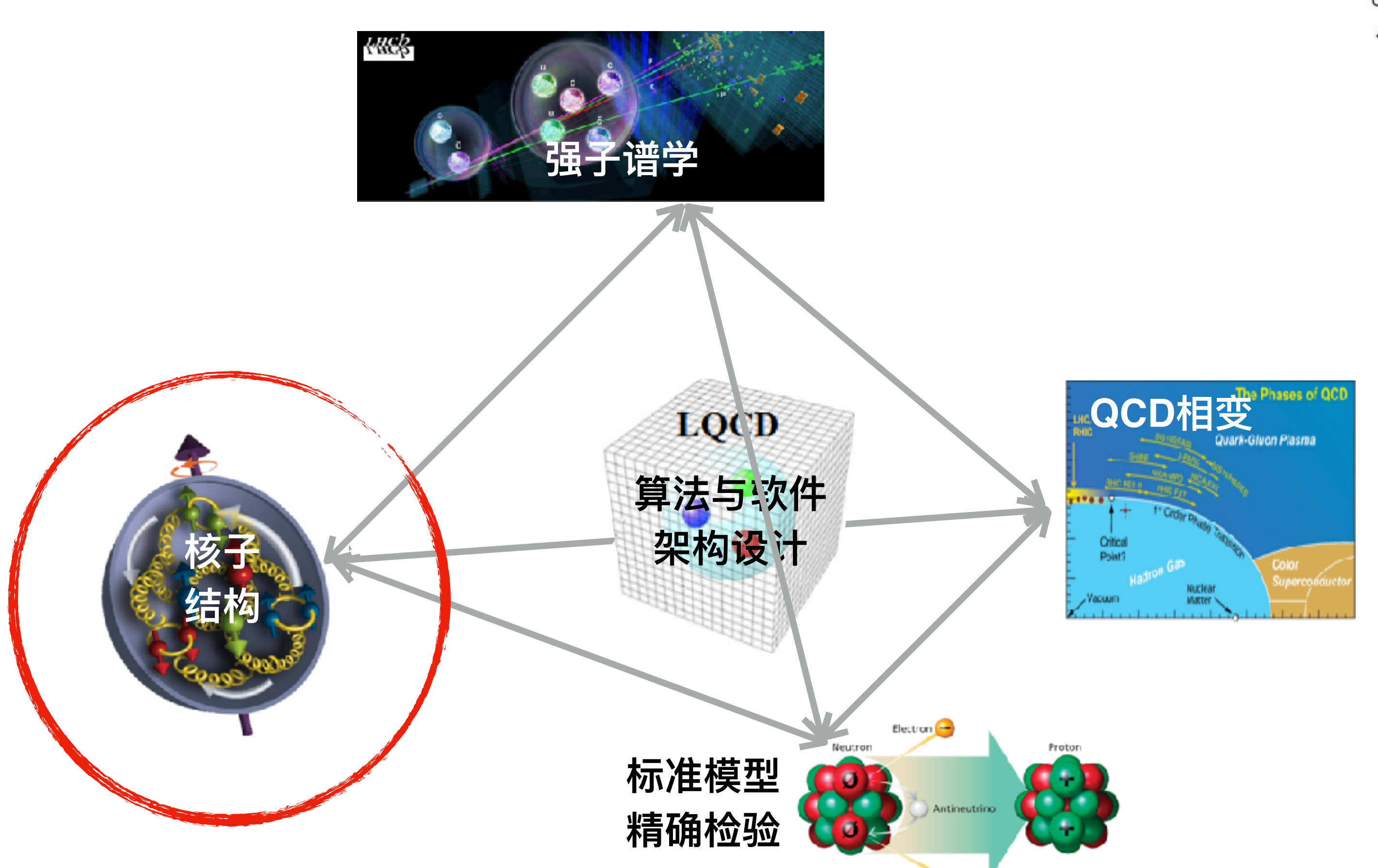


现代物理知识,2020年1期

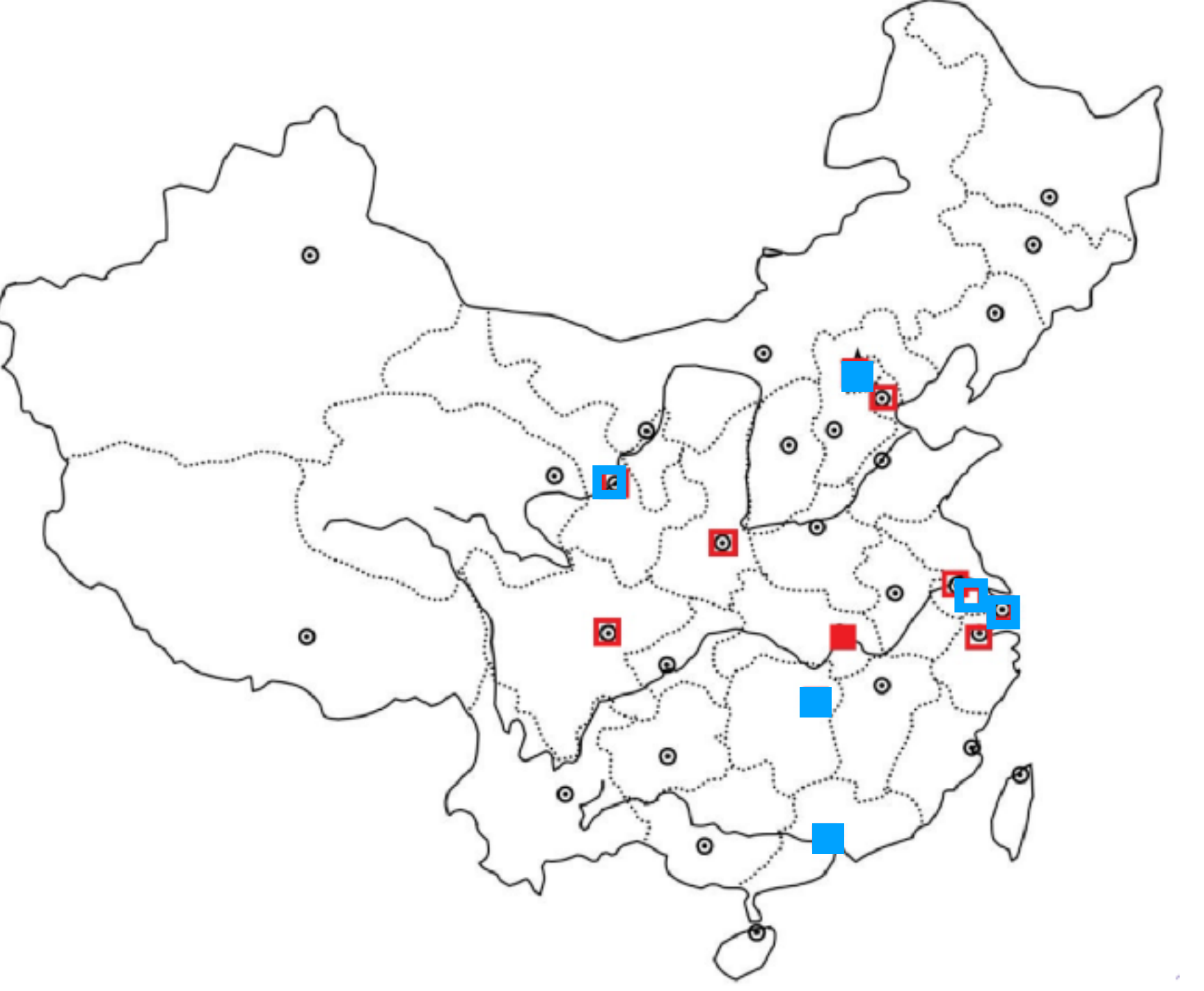


北京大学,北京航空航天大学,江苏大学,湖南师大, 华南师大,华中师大,南京师大,南开大学,清华大学,上海交大、四川大学, 西安工大,浙江大学,中国科学院大学/高能物理所/理 论物理所/近代物理所.....

格点QCD在中国:强子结构



Electron 🕶



- 深入理解强子中各部分子的性质
- 通过各种分布函数理解胶子在强子形成中的作用
- 面向核物理与高能物理的高强度前沿

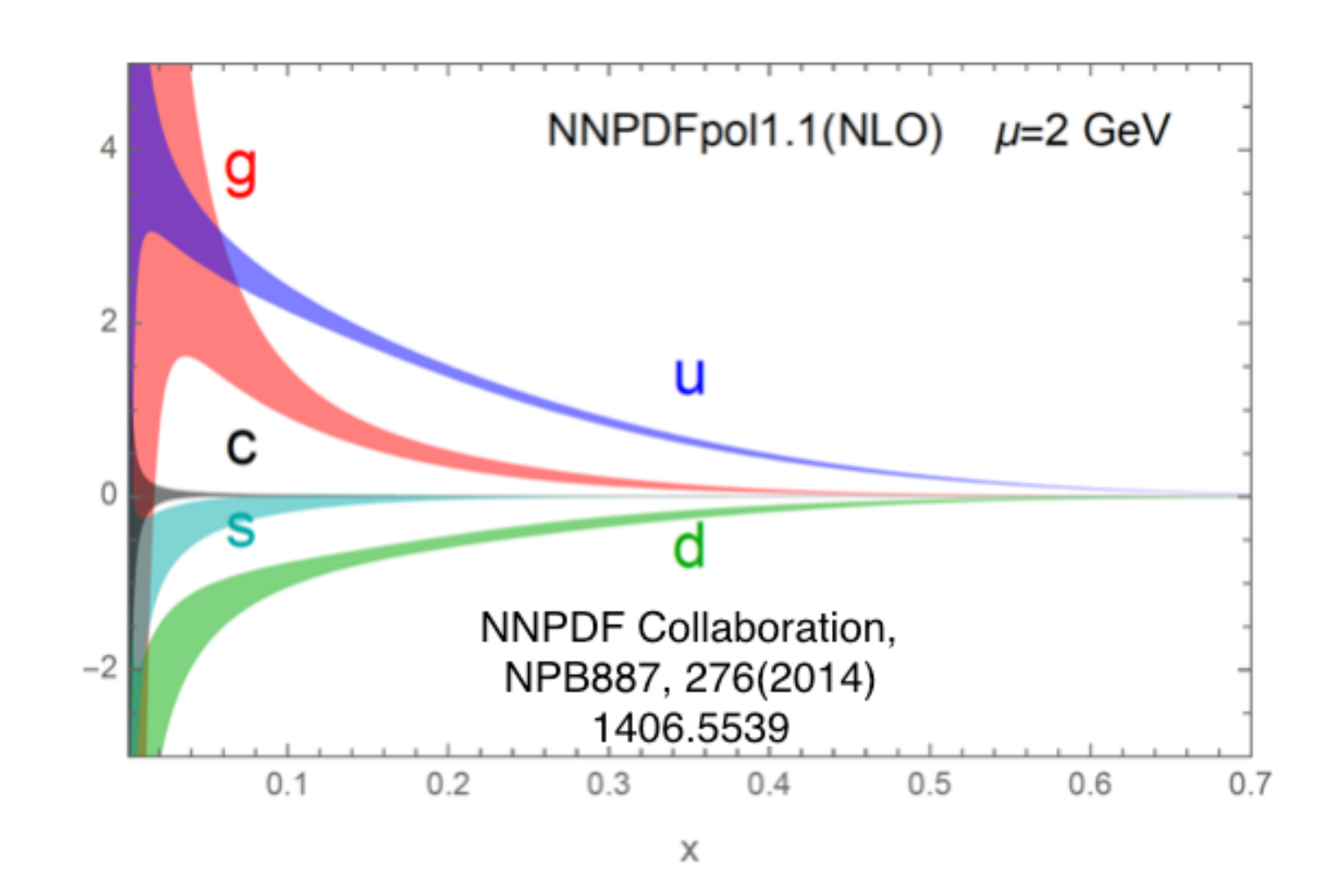
强子结构的LQCD计算

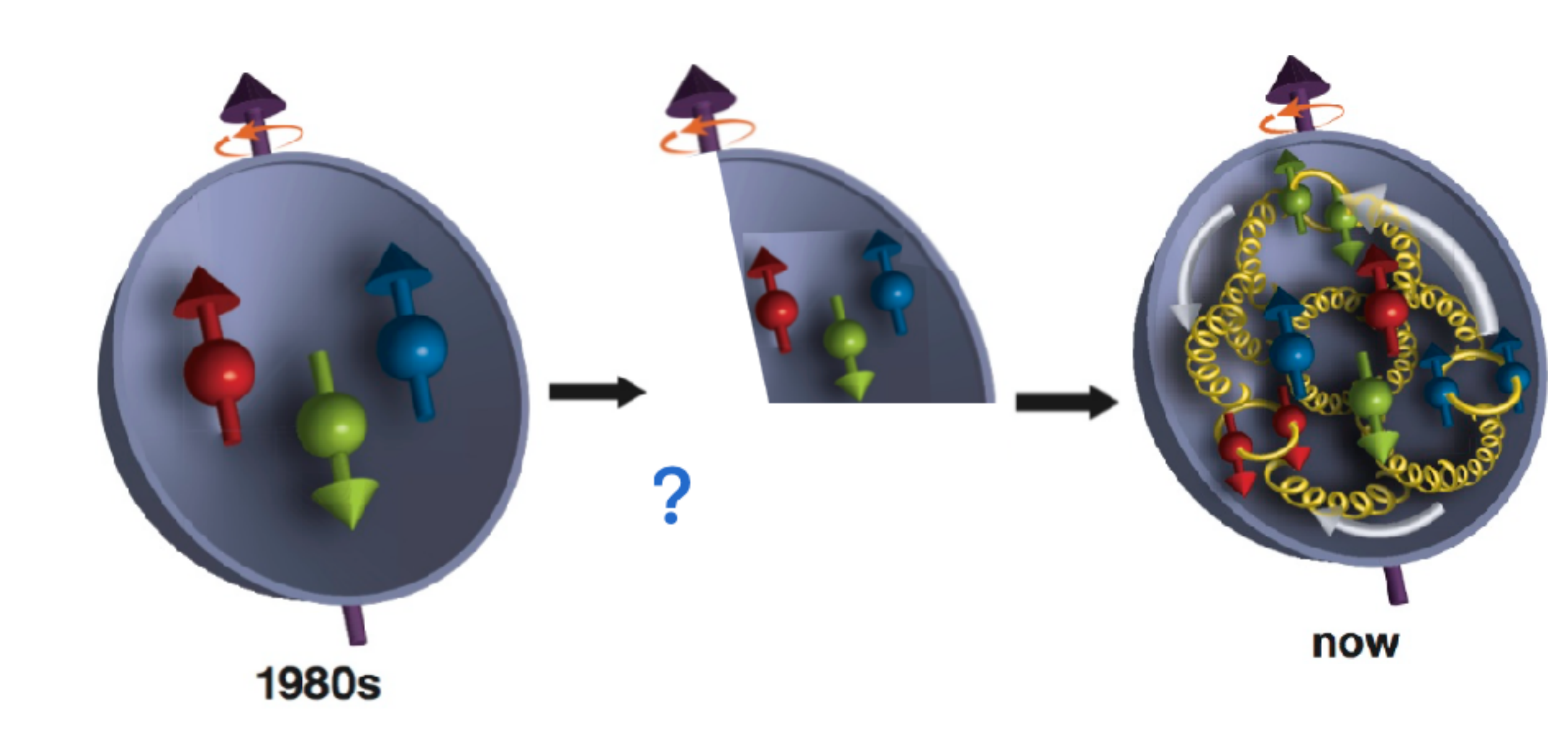
强子结构LQCD的计算的核心在于理解部分子在 强子尤其是核子中的分布:

- 径向分布函数、横向分布函数,广义分布函数……
- 以及他们的积分(对应于定域算符的矩阵元)。

胶子在强子形成中的作用:

- 在核子质量/动量和自旋中的贡献都接近50%
- 在其他强子中有多少贡献,为什么?



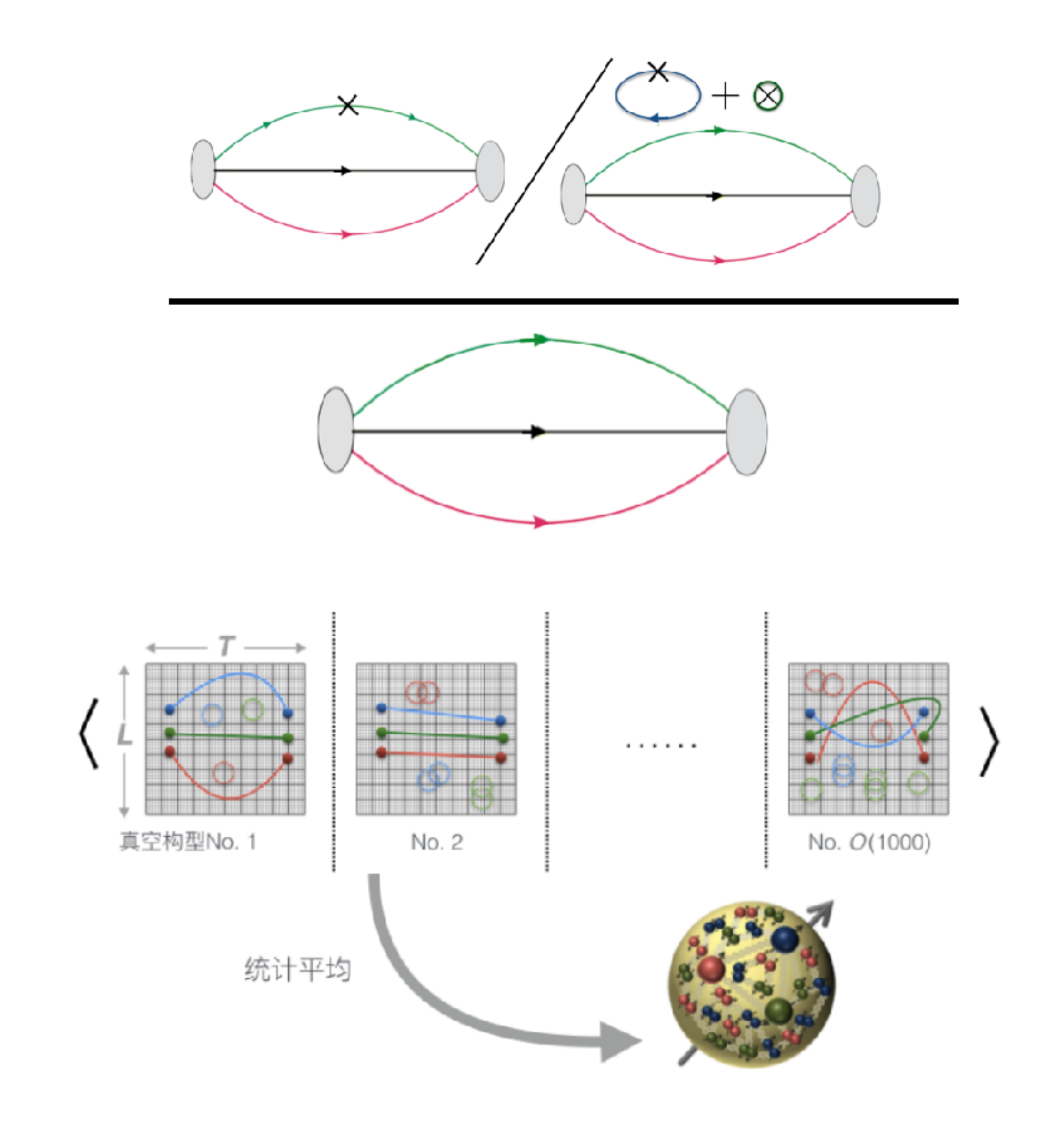


Proton momentum and angular momentum decompositions with overlap fermions, Gen Wang, 10/31, 15:00

强子矩阵元

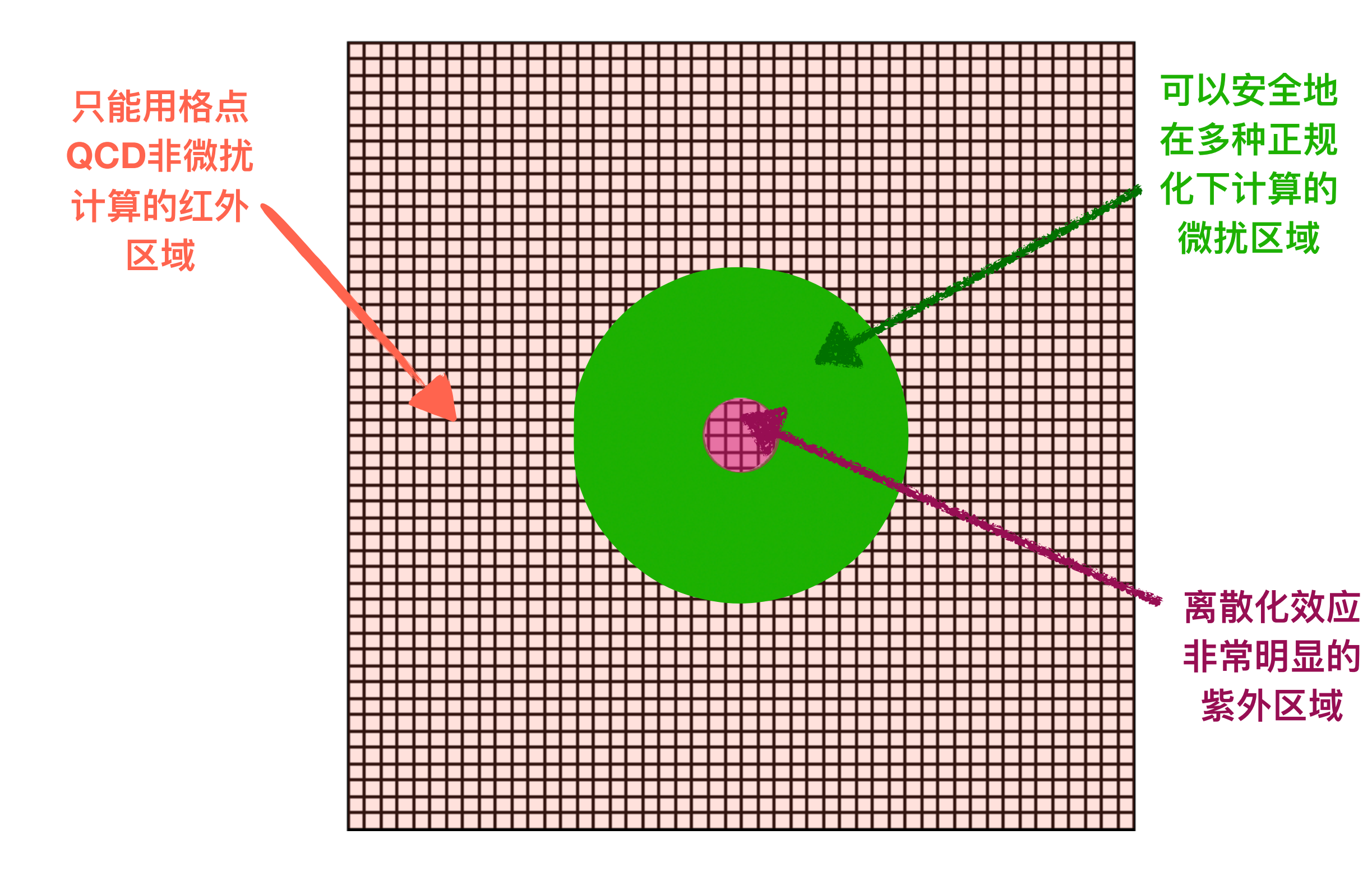
夸克流与胶子流的强子矩阵元是强子结构计算的核心:

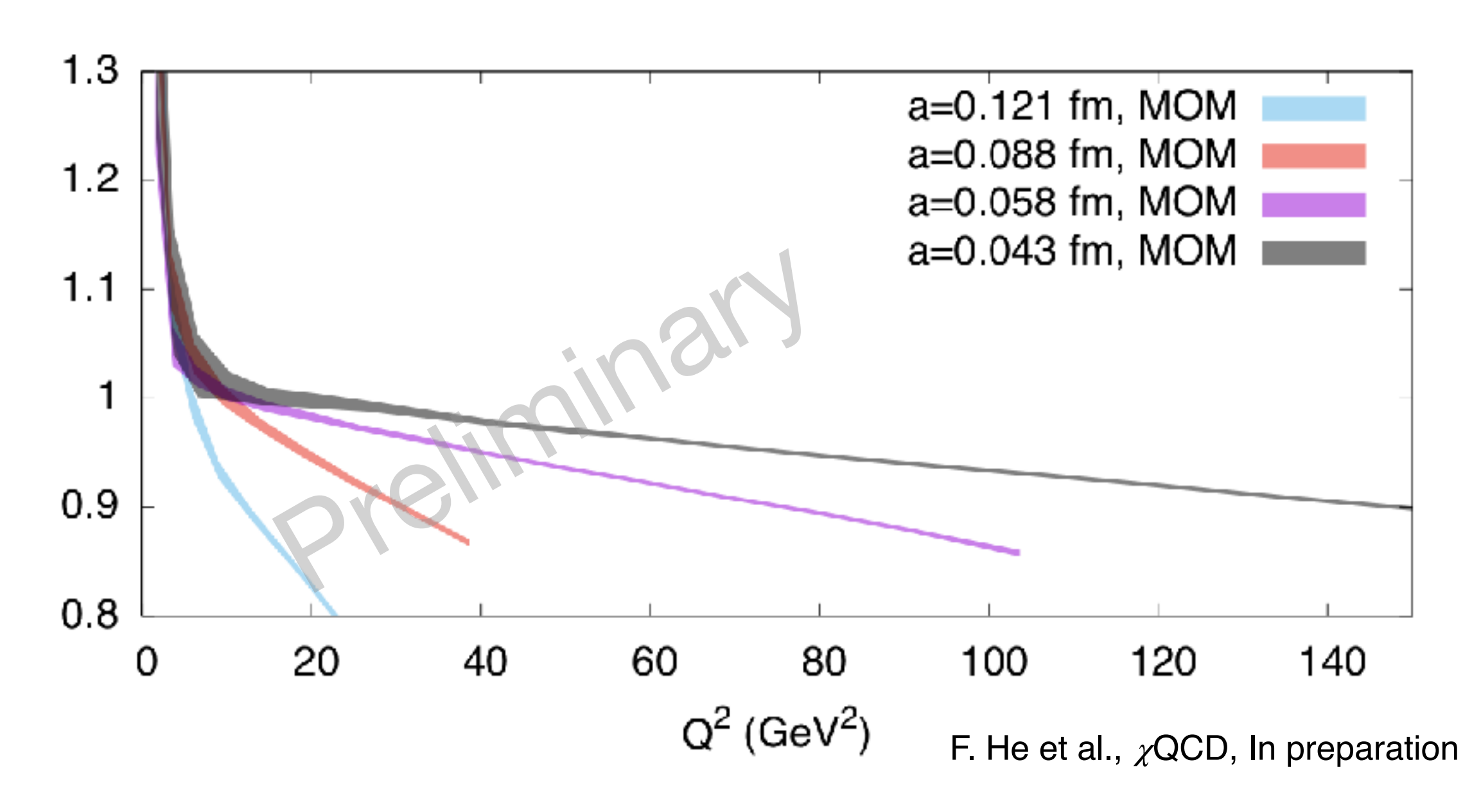
- 相比 $m_{\pi} \simeq 300$ MeV的情形, $m_{\pi} \simeq 135$ MeV的情形需要上百倍计算量才能达到差不多的信噪比;
- 海夸克和胶子的矩阵元需要数百倍的统计量,才能达到与价夸克矩阵元差不多的信噪比;
- 对于物理点的核子, $P \sim 2$ GeV的情形也需要数百倍的统计量,才能达到 $P \sim 0$ 的情形差不多的信噪比。



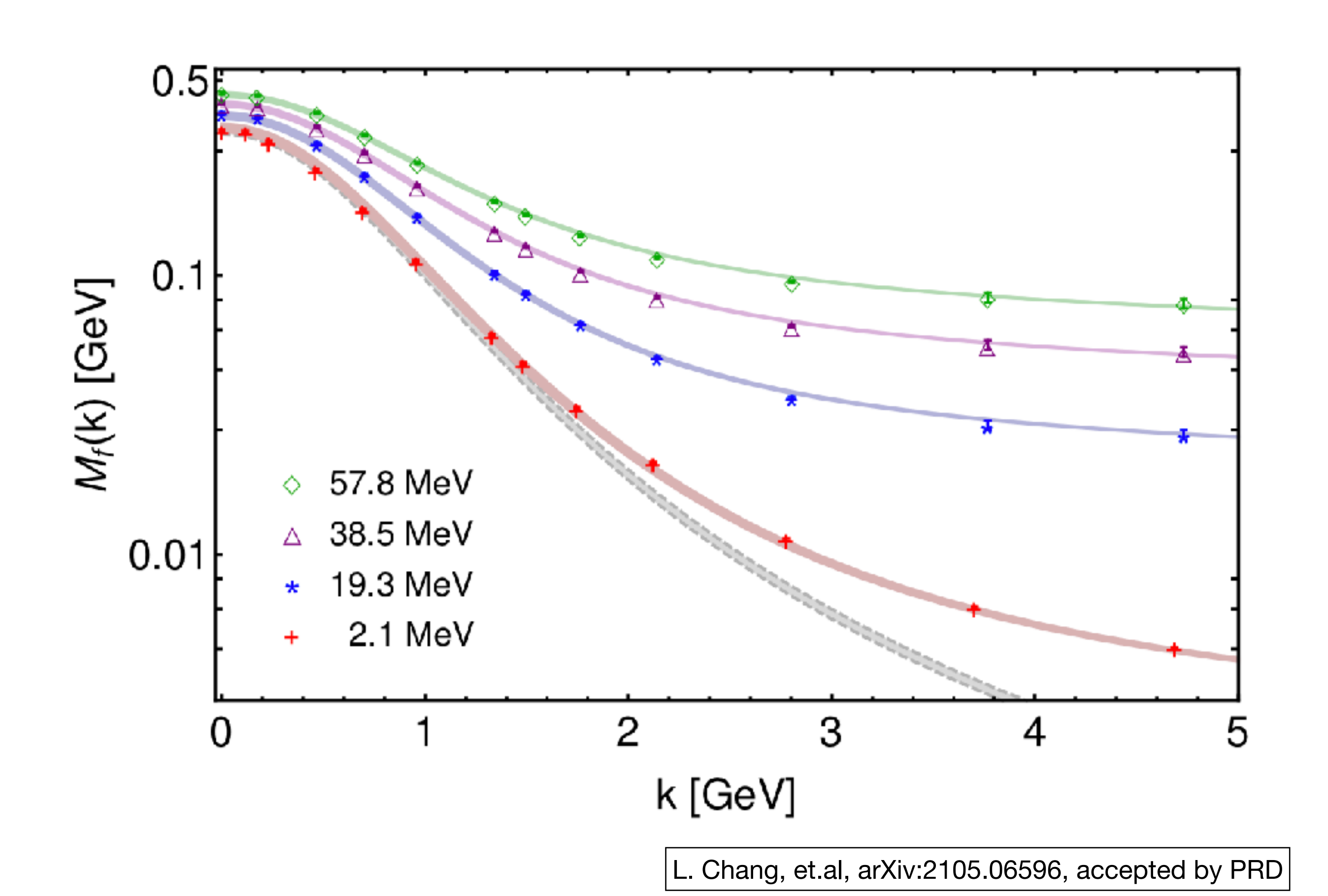
重整化

- 格点QCD的短程行为显著地依赖于离散 化。
- 而通常的实验唯象分析是在修改维度的MSbar方案下进行的。
- 不改变维度的格点正规化无法直接引入这个 维度,从而无法直接得到MS-bar下的结果。
- 但是可以有一个"安全的区域",在这个区域内不同正规化可以得到一样的计算结果。





夸克"动力学"质量



- 当标度低到无法使用微扰计算的区间, 会发现quark在朗道规范下有一个大约320 MeV的"动力学质量";
- Dyson-Schwinger方程的参数化方案可以在要求反常色磁矩系数为
 η ∈ [1.27 1.32]的区间,很好地解释格点的结果。
- 需要进一步地研究,以深入理解这个质量如何联系到强子质量,并解释强子结构!

新的挑战

a=0.14 tm, Z_{QG}H_{GG} a=0.11 fm, Z_{QG}R_{GG}

0.03 0.02

0.01

-0.01 -0.02

-0.03

进一步我们期望计算完整的分布函数而不只是他们的积分:

• 大动量有效理论(更复杂的重整化计算)

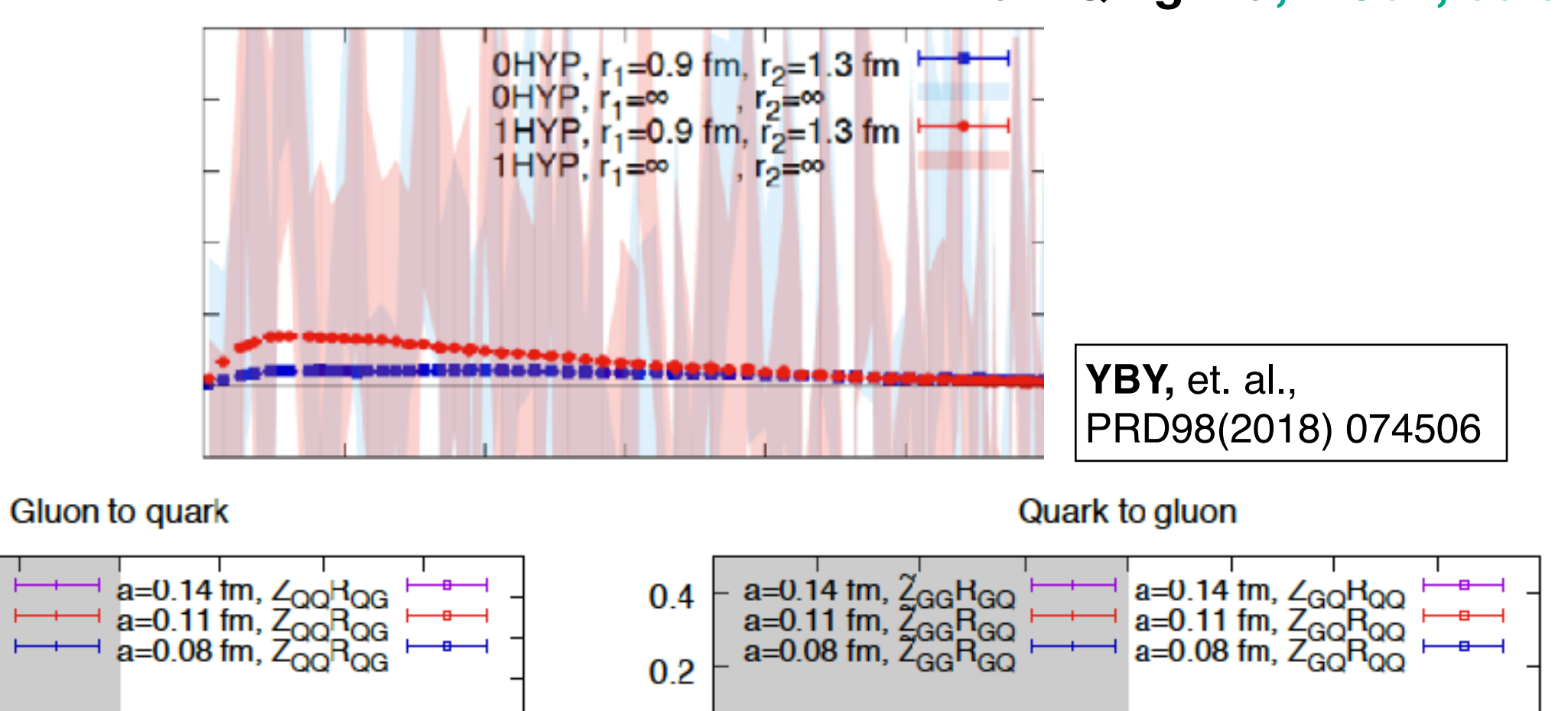
5

 a^2p^2

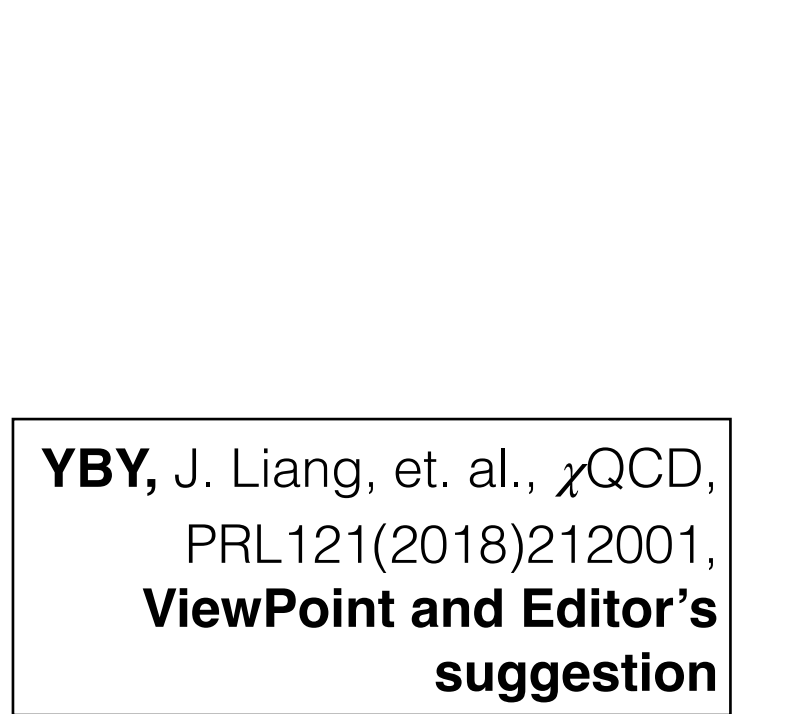
 四点函数以及各种非定域矩阵元(更复杂的强 子矩阵元计算) Lattice calculation powered by factorization theory, Yan-Qing Ma, 11/01, 09:30

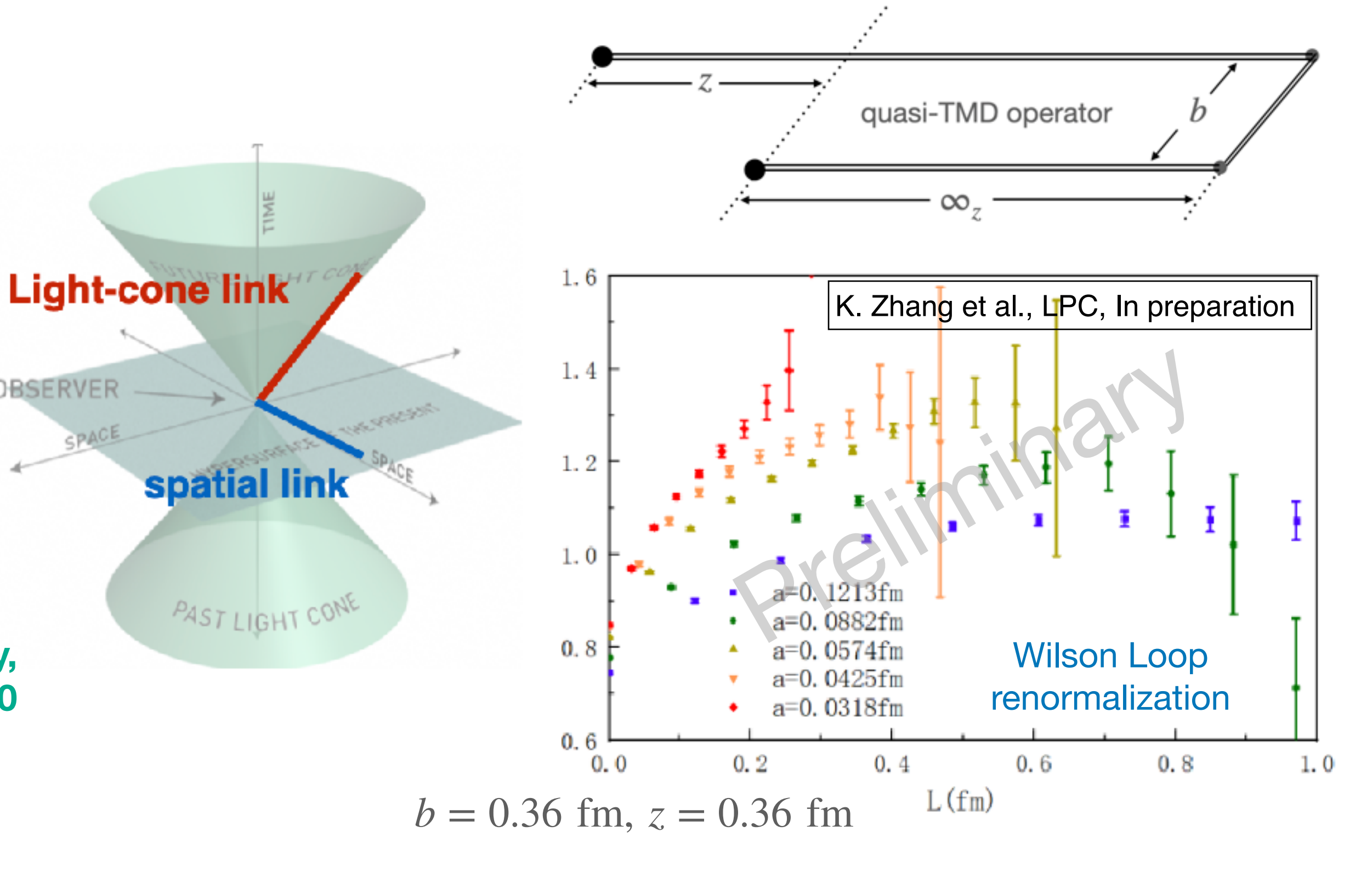
-0.2

-0.4



 a^2p^2





以及更多地了解胶子在强子中的矩阵元与PDF:

- 更大的计算量需求
- 夸克与胶子之间的混合

Distribution amplitudes from lattice QCD,

Jun Hua, 10/31, 16:00

Collins-Soper kernel from transverse momentum-dependent wave functions in LaMET,

Min-Huan Chu, 16:30

Renormalization and extrapolation strategies for parton physics from lattice QCD,

Jianhui Zhang, 11/01, 9:00

Transverse Momentum Dependent PDF Calculation,

Yu-Jie Pan, 11/01, 11:30

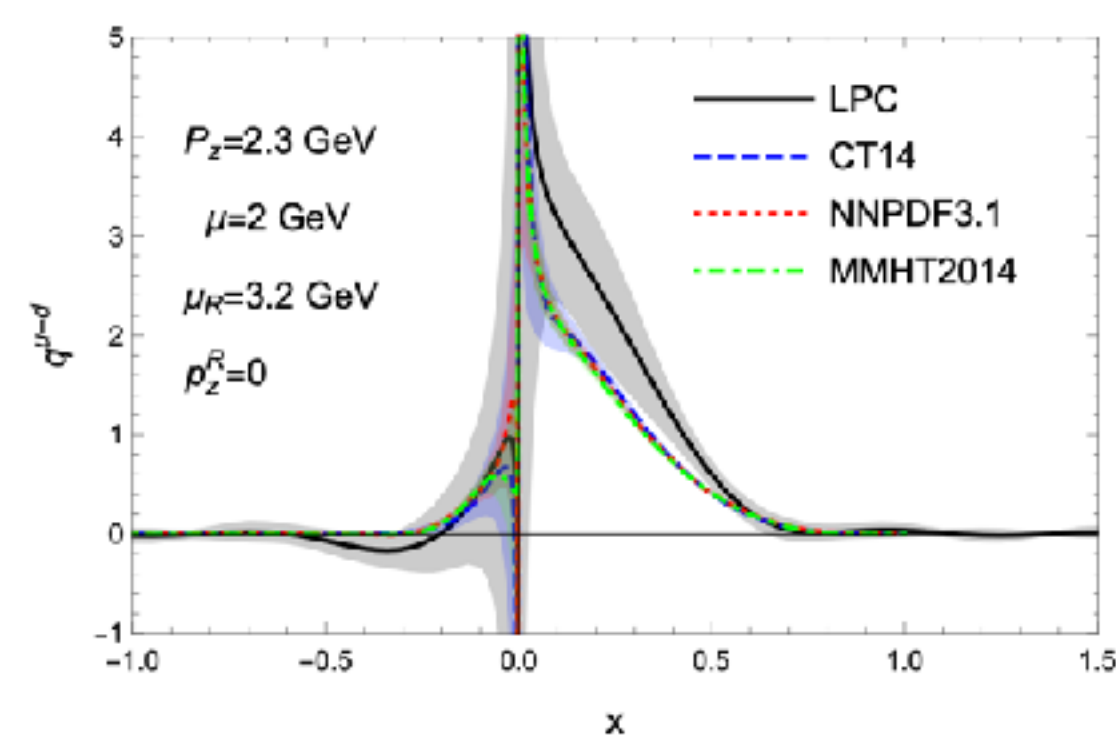
Lattice Parton合作组(LPC)

基于格点量子色动力学理解强子结构

- 。 2019年秋季成立
- 固定成员
- Xiangdong Ji (SJTU)
- Peng Sun (NJNU)
- Andreas Schaefer (U. Reg.)
- Wei Wang (SJTU)
- · Yi-Bo Yang (ITP/CAS, 发言人)
- Jian-hui Zhang (BNU)
- 去年以来的新成员
- Long-Cheng Gui (HNNU)
- Jian liang (SCNU)
- Liuming Liu (IMP/CAS)
- Xiao-Nu Xiong (CSU)

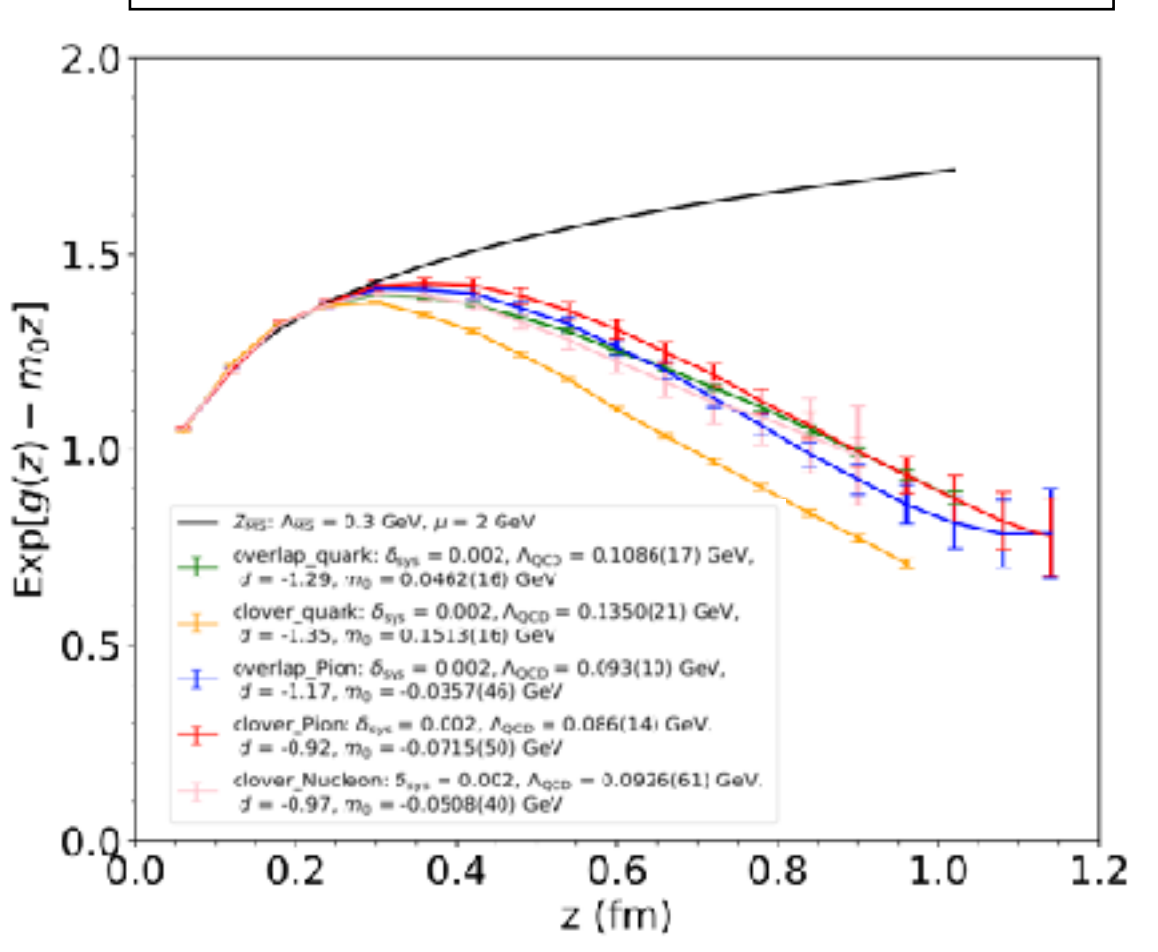
- 博士后与学生
- Min-Huan Chu (SJTU)
- Jun Hua (SJTU)
- YiKai Huo (SJTU)
- Yuan-Yuan Li (NJNU)
- Yizhuang Liu (SJTU)
- Yu-Sheng Liu (SJTU)
- Maximilian Schlemmer (U. Reg.)
- Hai-Tao Shu (U. Reg.)
- Ji Xu (SJTU)
- Kuan Zhang (ITP/CAS)
- Qi-An Zhang (SJTU)

。 合作组的研究进展



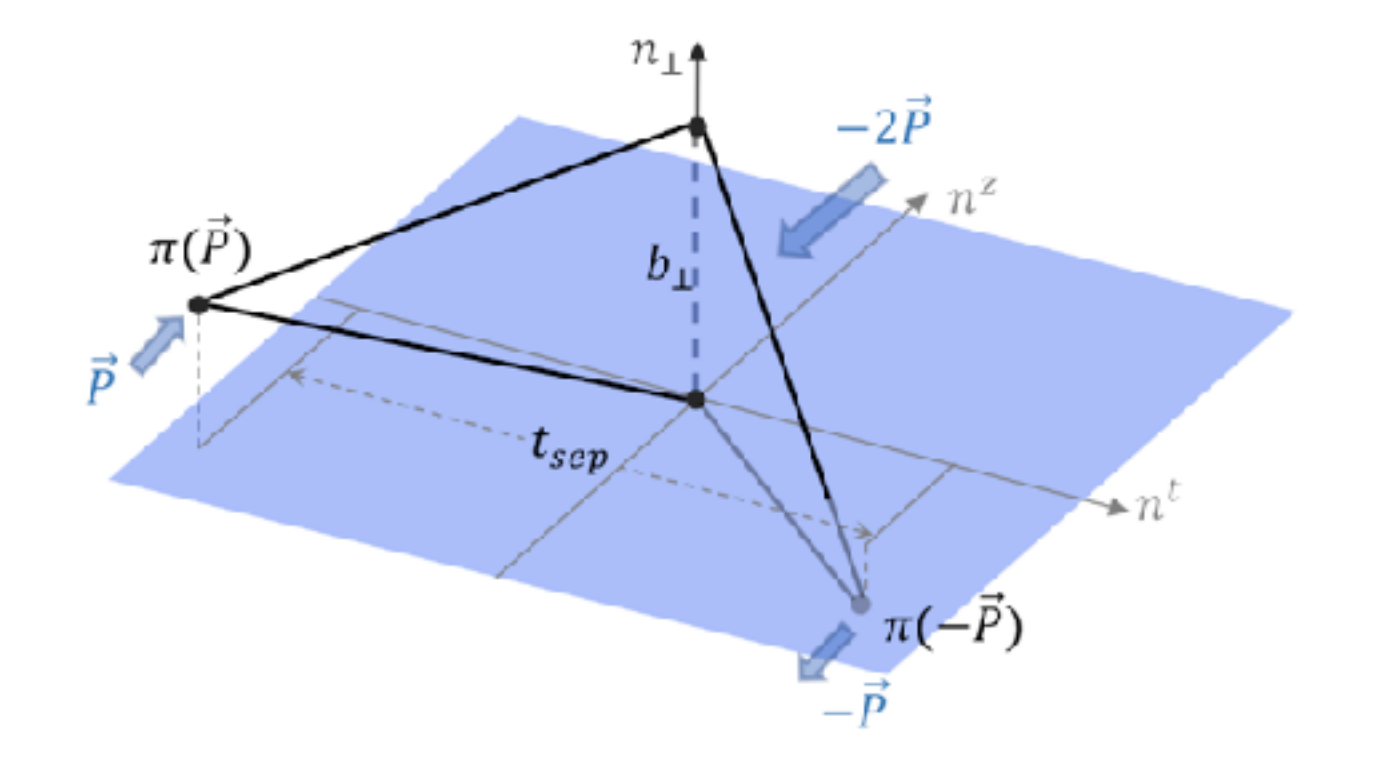
核子中夸克的非极化分布函数

Y. Liu, et.al., LPC, PRD101(2020)034020



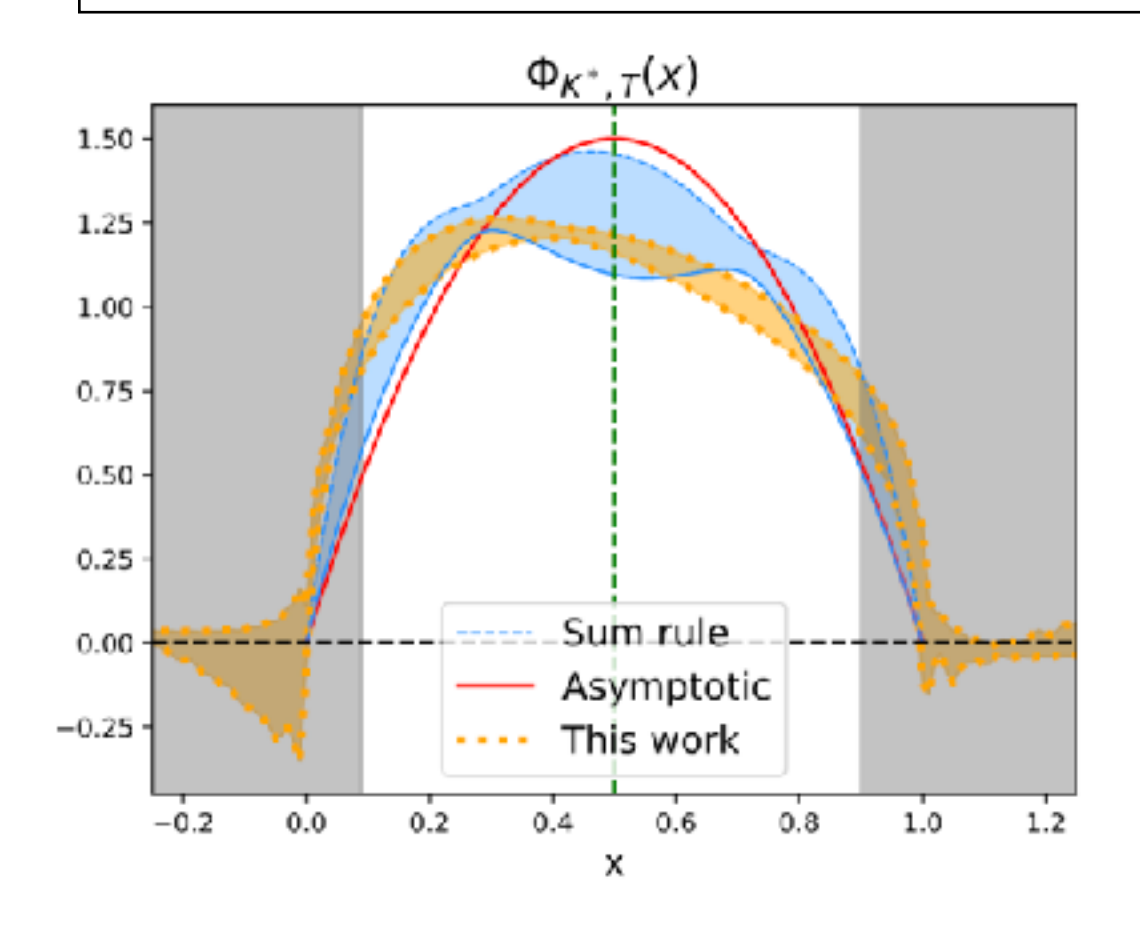
准光锥关联函数的自重整化

Y.-K. Huo. et.al., LPC, NPB969(2021)115443



胶子的横向分布软函数

Q.-A. Zhang. et.al., LPC, PRL125(2020)192001



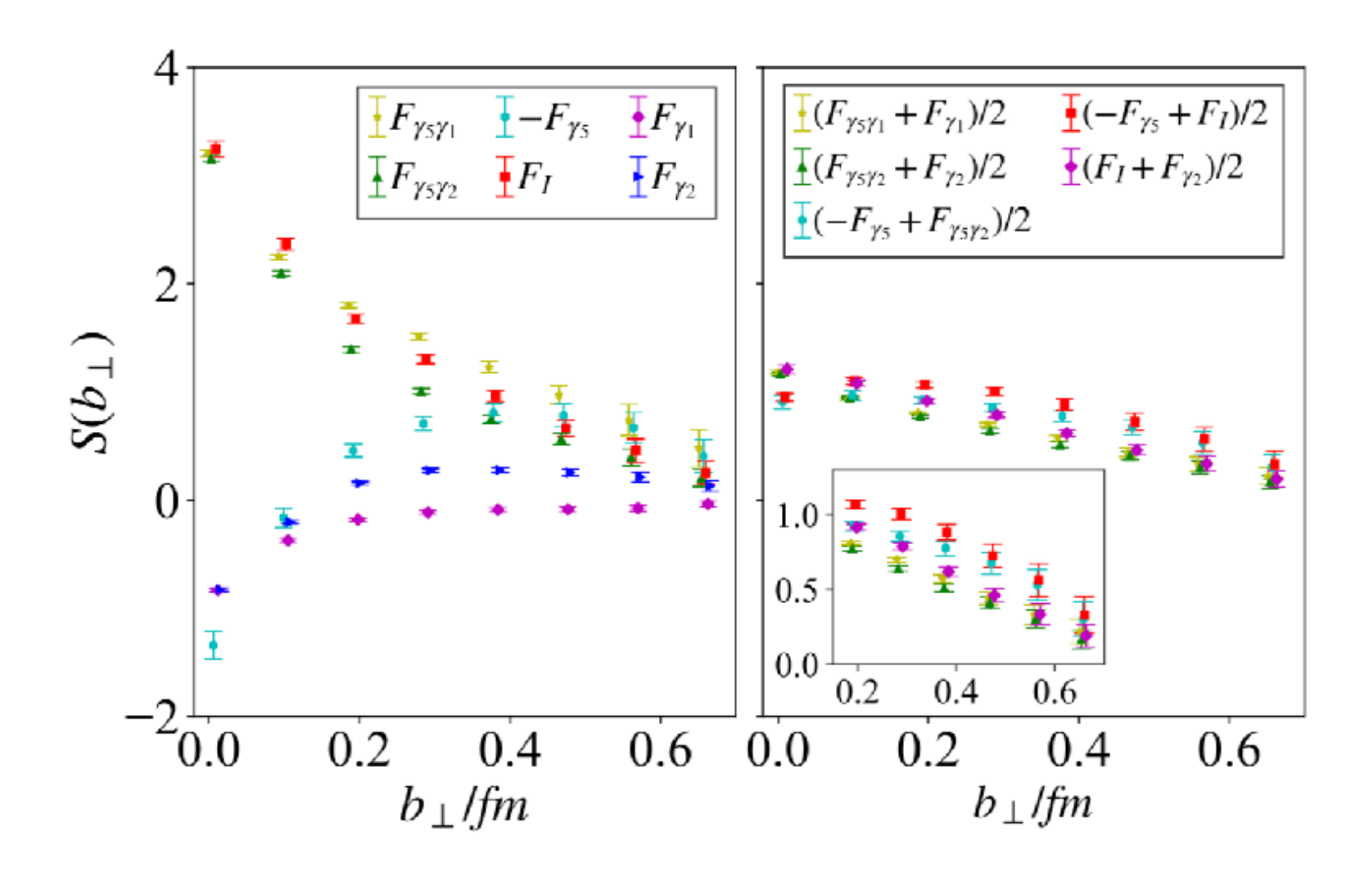
介子的光锥分布函数

J. Hua. et.al., LPC, PRL127(2021)062002

基于中科院战略先导专项C类No. XDC01040100的支持

国内其他强子结构计算

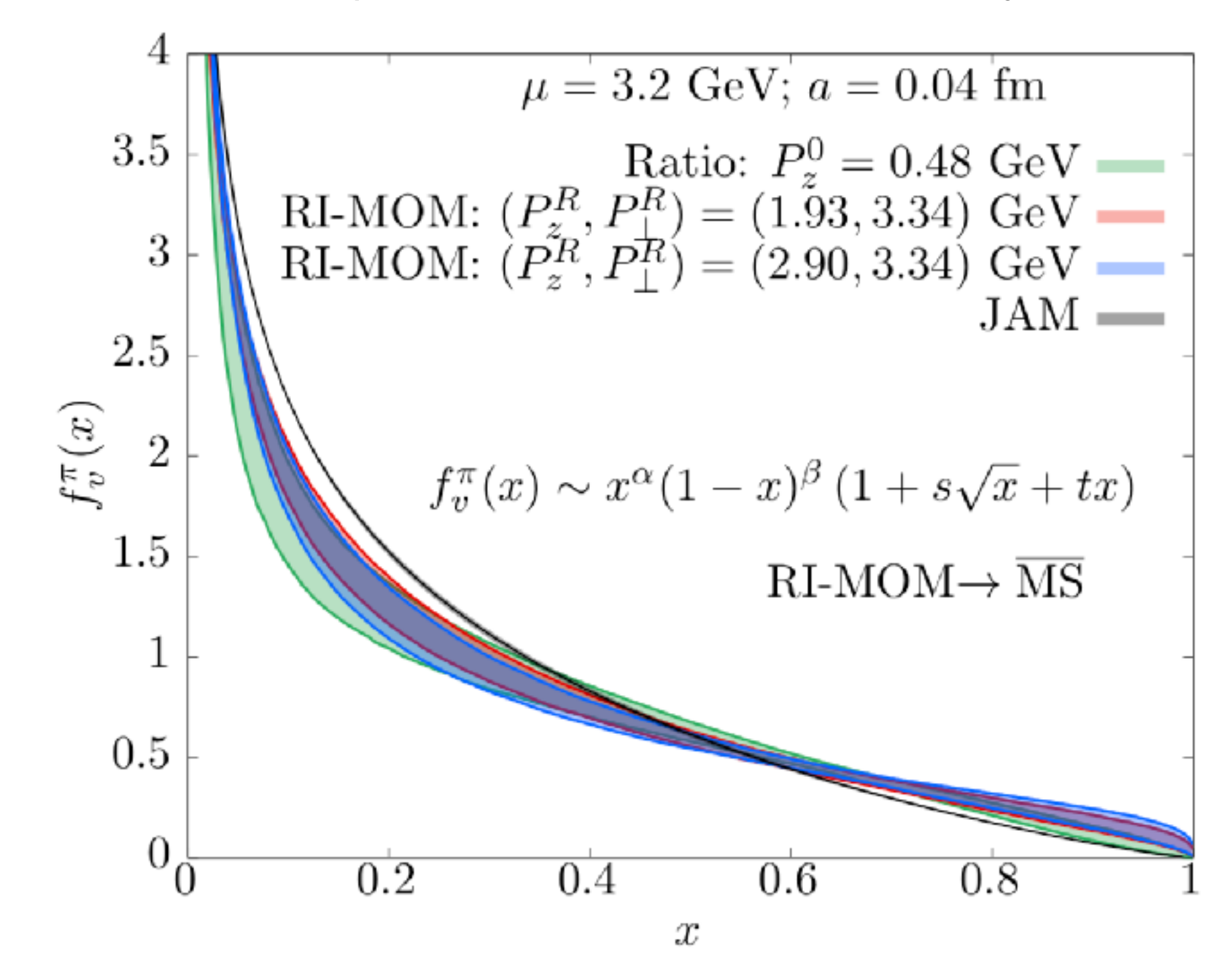
- PKU&ETMC
- 2味ETMC组态;
- 系统地考察了使用不同算符得到胶子的横向分布软函数;
- 发现适当地组合算符可以显著地改善大动量收敛性。



Y. Li, et.al., arXiv:2106.13027

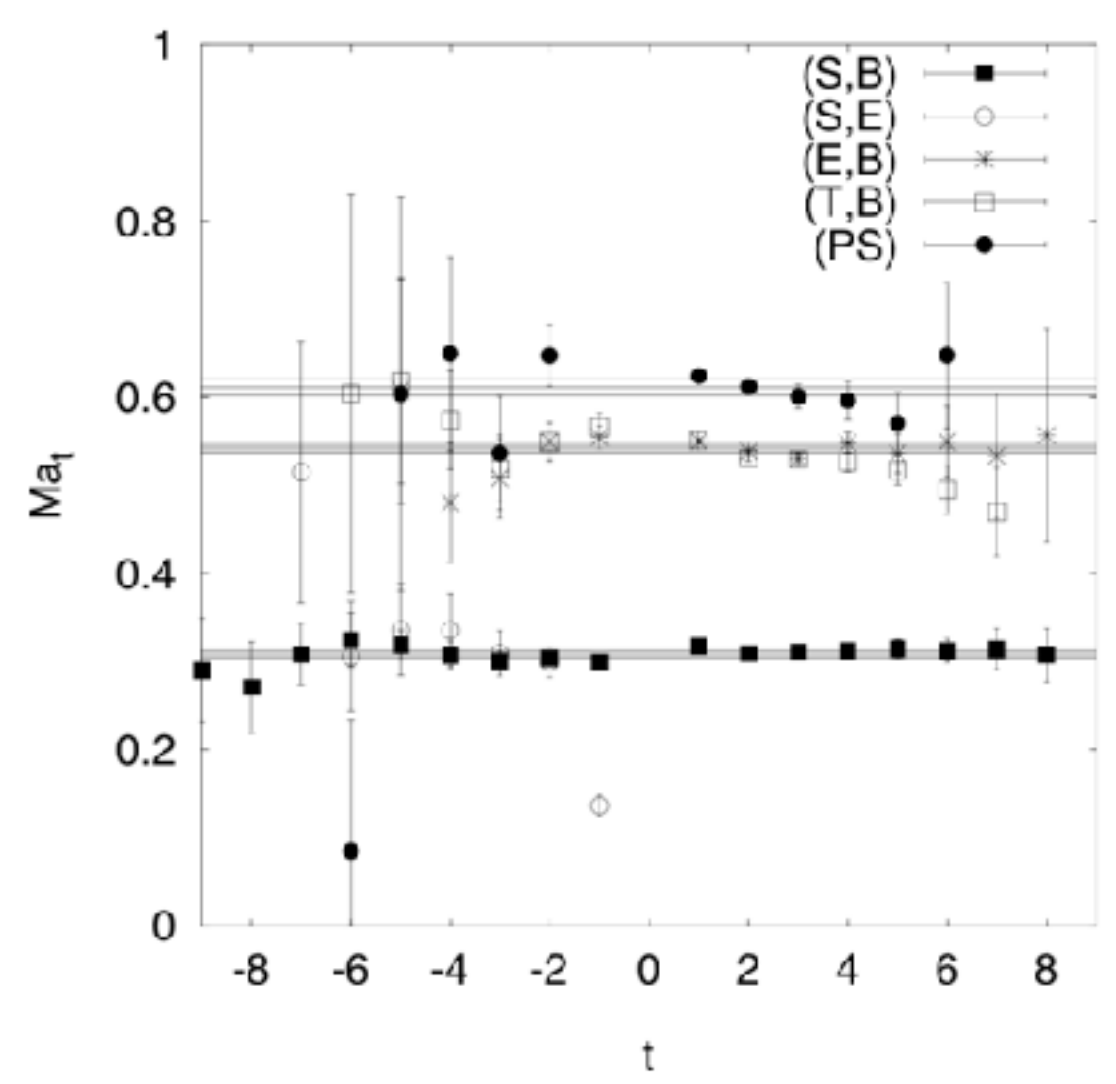
Valence parton distribution of pion from lattice QCD at physical point, Xiang Gao, 10/31, 14:30

- Tsinghua&BNL
- 2+1味HotQCD的HISQ组态;
- π介子的价夸克分布函数;
- 系统考察了各种系统误差并计算了各阶矩。



X. Gao, et.al., PRD 102(2020)094513

强子结构与强子谱学



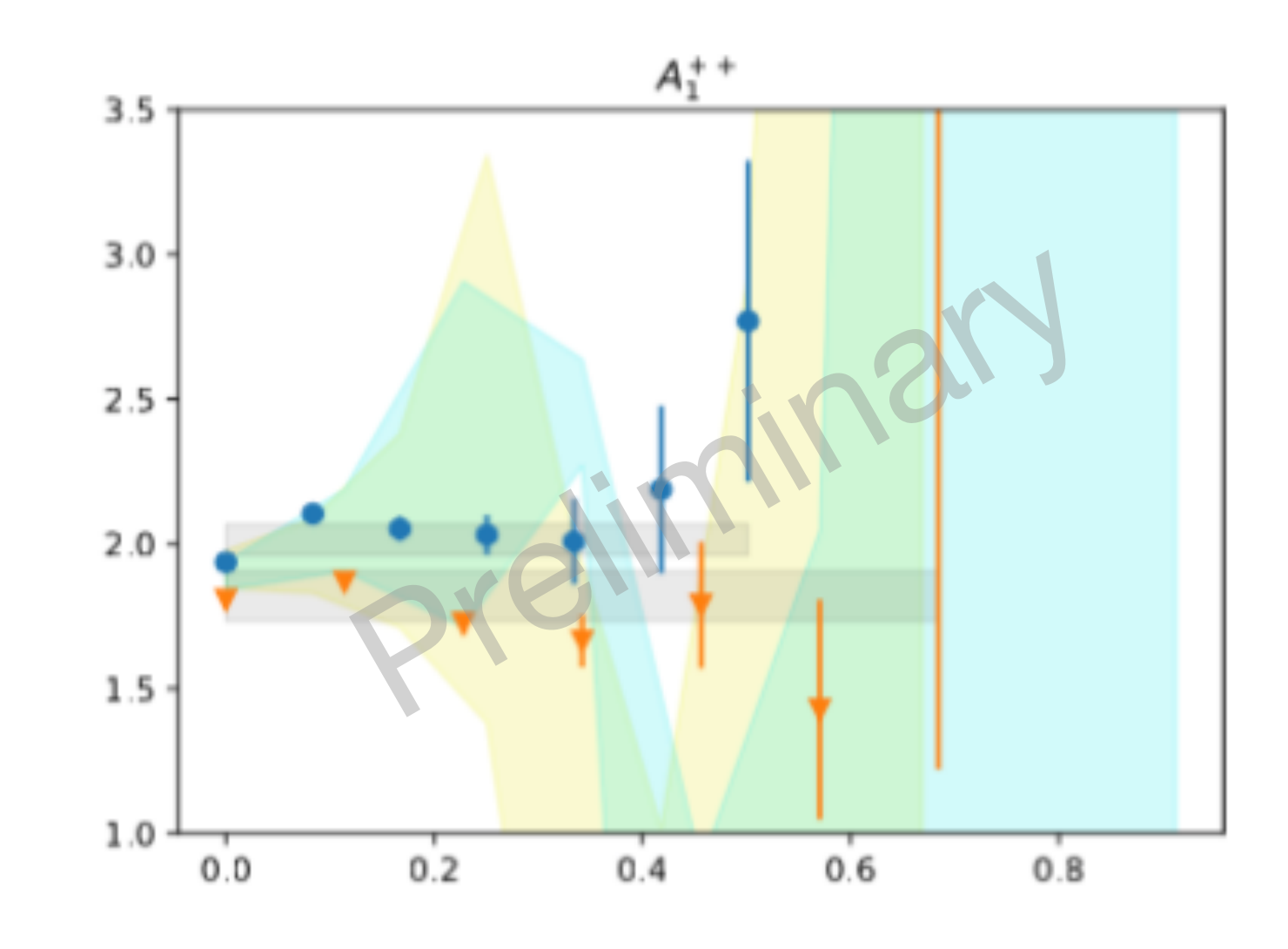
Y. Chen et al., PRD 73 (2006) 014516

 $24^3 \times 72$, 2.4^4 fm⁴ box Quench

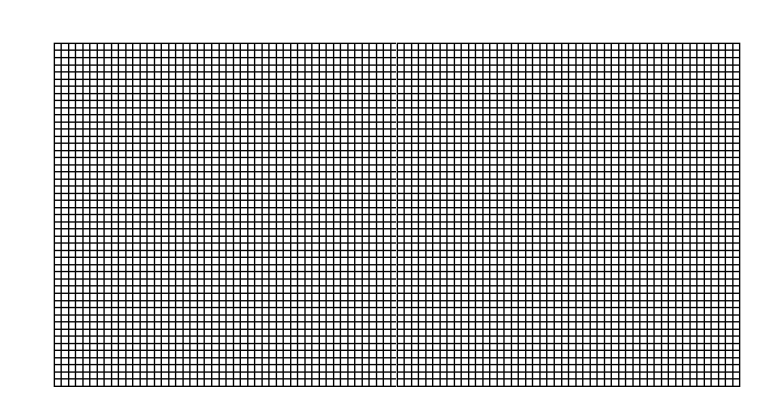
胶球质量分解

TABLE XIX: The matrix elements of operator O_{\pm} (Type-II) in glueball states are listed. S represents the scalar glueball state, while T(E) and $T(T_2)$ denotes the tensor glueballs in E and T_2 irreps, respectively. The renormalization constants extracted from these matrix elements are given also.

$ G\rangle$	$\langle G O_+ G angle_{ m lat}$	Z_S	$\langle G O G angle_{ m lat}$	Z_T
S	32(9)	1.1(3)	13(5)	0.7(3)
T(E)	102(16)	1.0(2)	51(15)	0.53(15)
$T(T_2)$	101(16)	1.0(2)	53(15)	0.51(15)



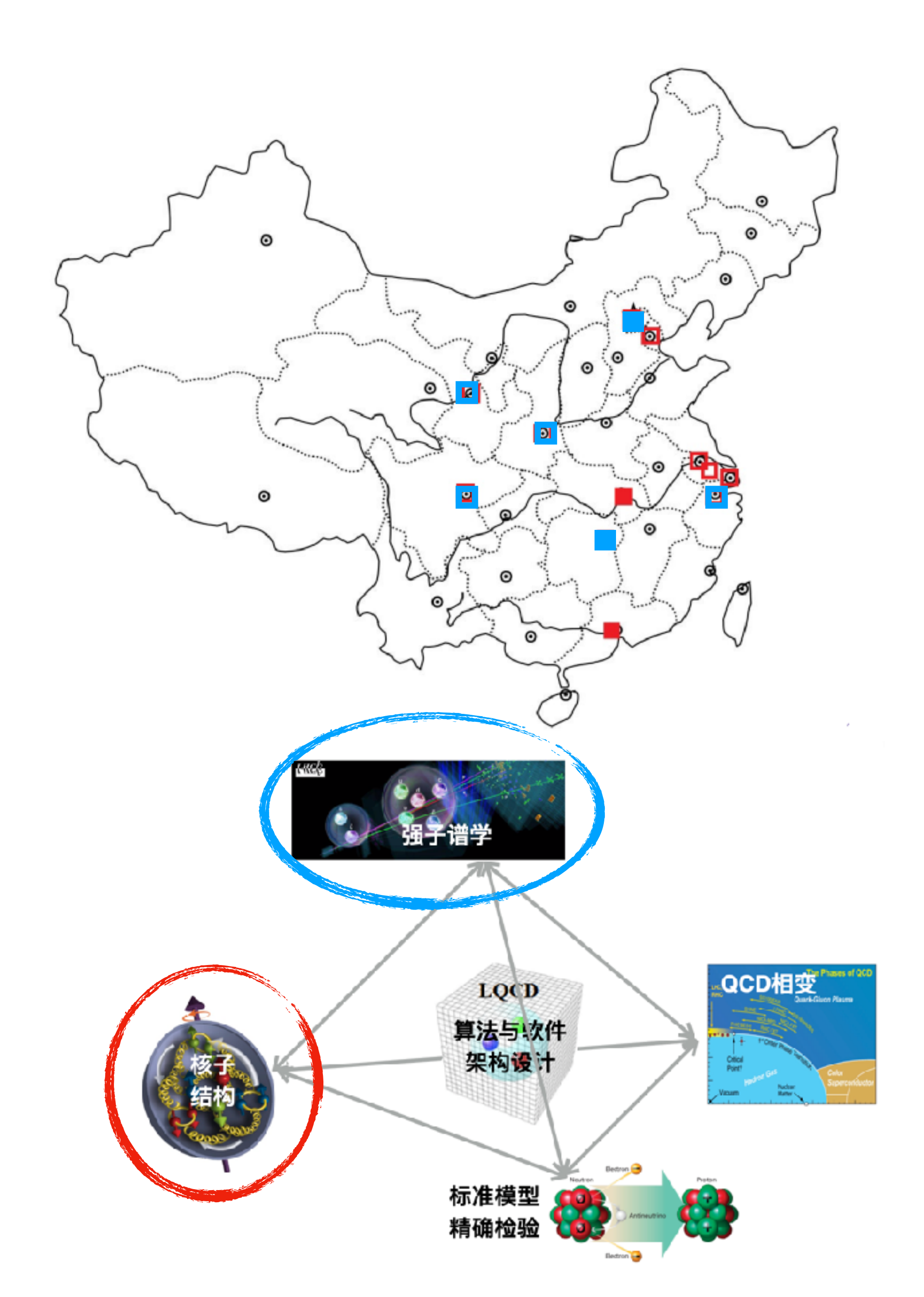
F. Chen et al., χ QCD, in preparation



 $48^{3} \times 96/64^{3} \times 128$ $5.5^{3} \times 11 \text{ fm}^{4} \text{ box}$ $m_{\pi} = 139 \text{ MeV}$



?



轻介子质量分解

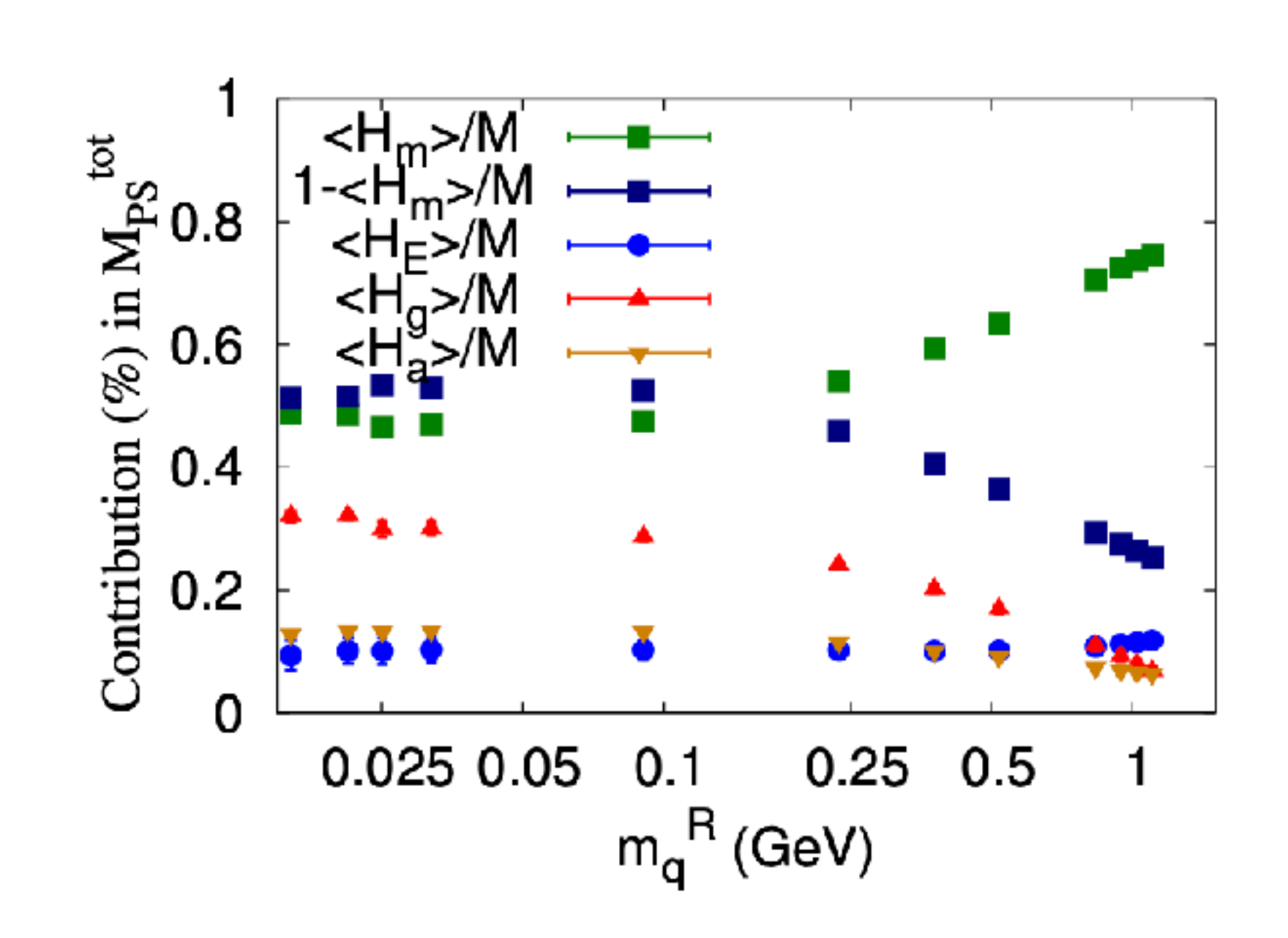
强子质量分解方案:

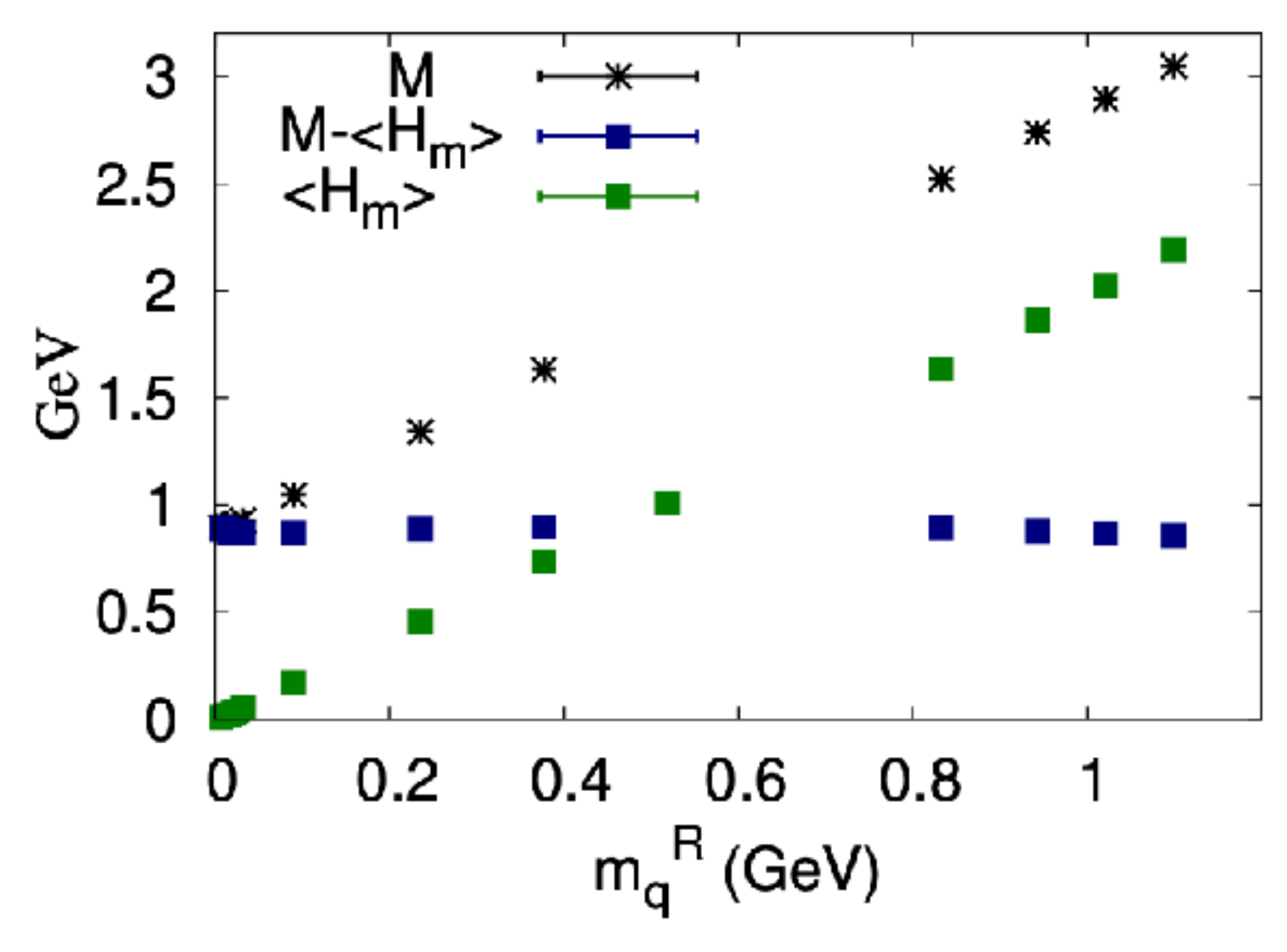
- 能动量张量的迹的求和规则给出: $m_H = \langle H_m \rangle_H + \langle H_a \rangle_H$;
- 基于能量分量的求和规则可以进一步分解 $\langle H_a \rangle_H$: $\frac{3}{4} \langle H_a \rangle_H = \langle H_E \rangle_H + \langle H_g \rangle_H$ 。
- 从而给出强子能量的完整分解:

$$m_H = \langle H_m \rangle_H + \langle H_E \rangle_H + \langle H_g \rangle_H + \frac{1}{4} \langle H_a \rangle_H$$

通过LQCD在完整组态上计算强子质量分解的初次尝试:

- 赝标介子在手征极限附近各组分贡献的比例接近于常数;
- 矢量介子除了质量以外其他部分的贡献接近于常数。

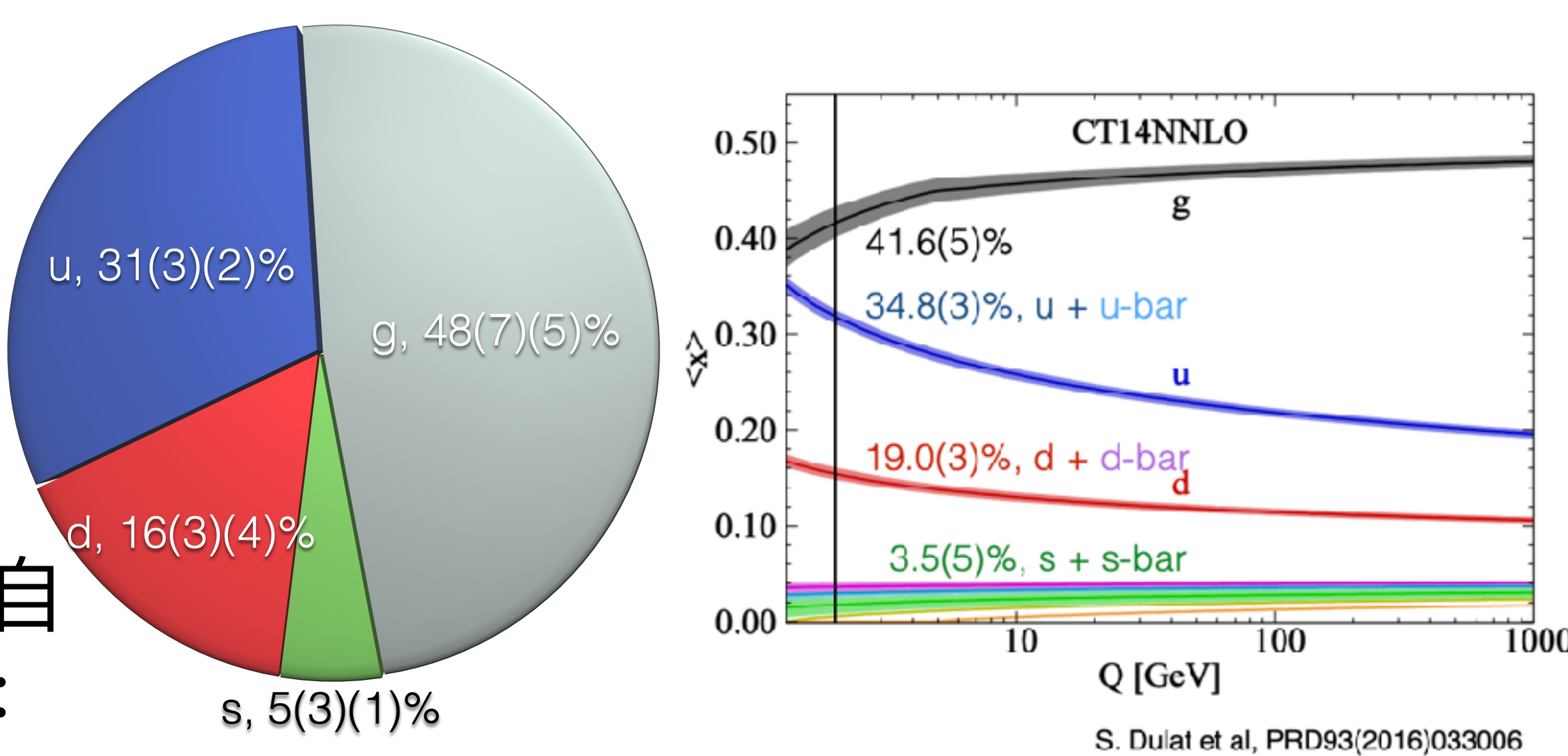


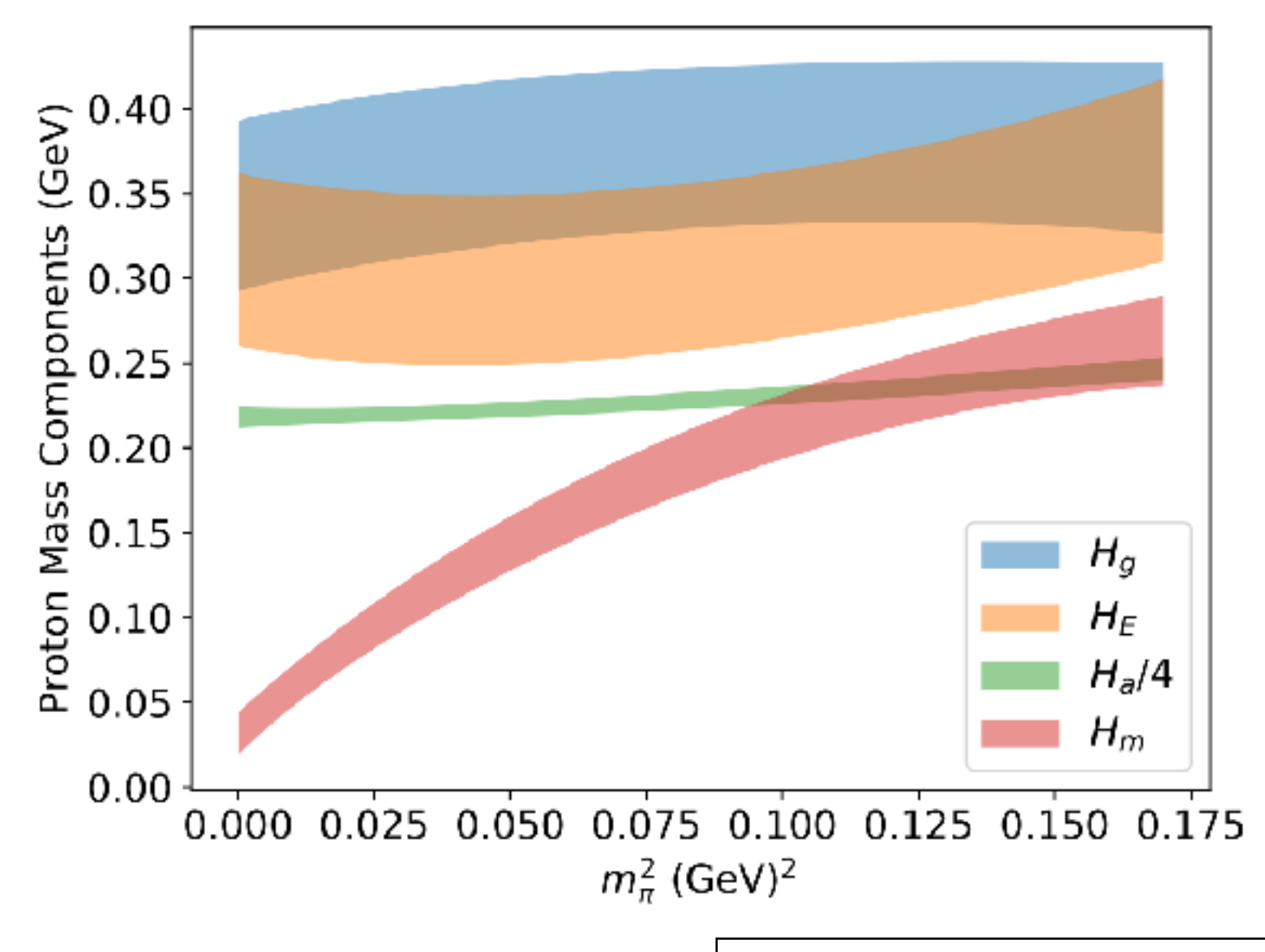


核子质量分解

经过三年多的努力,更好地理解和控制了来自 重整化、格距、pion质量等方面的系统误差:

- 预言了质子中各味夸克和胶子在MS-bar 2 GeV的动量分数,误差范围内与实验符合;
- 质子静能量中夸克动能、胶子动能与标度反常。常贡献对夸克质量的变化不敏感;
- 标度反常的贡献来源于求和规则的估计,而非直接计算。



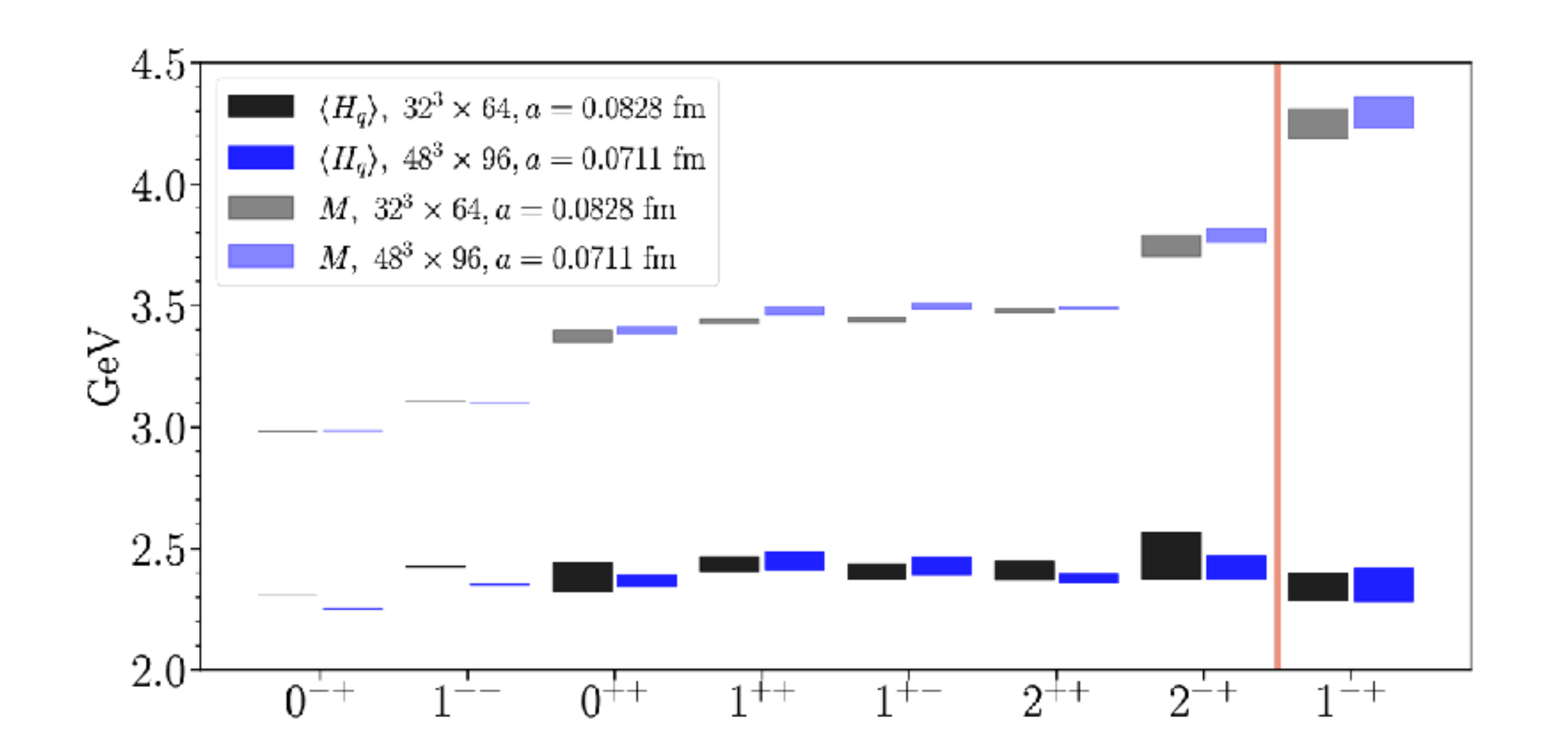


YBY, J. Liang, et. al., ∠QCD, PRL121(2018)212001, ViewPoint and Editor's suggestion

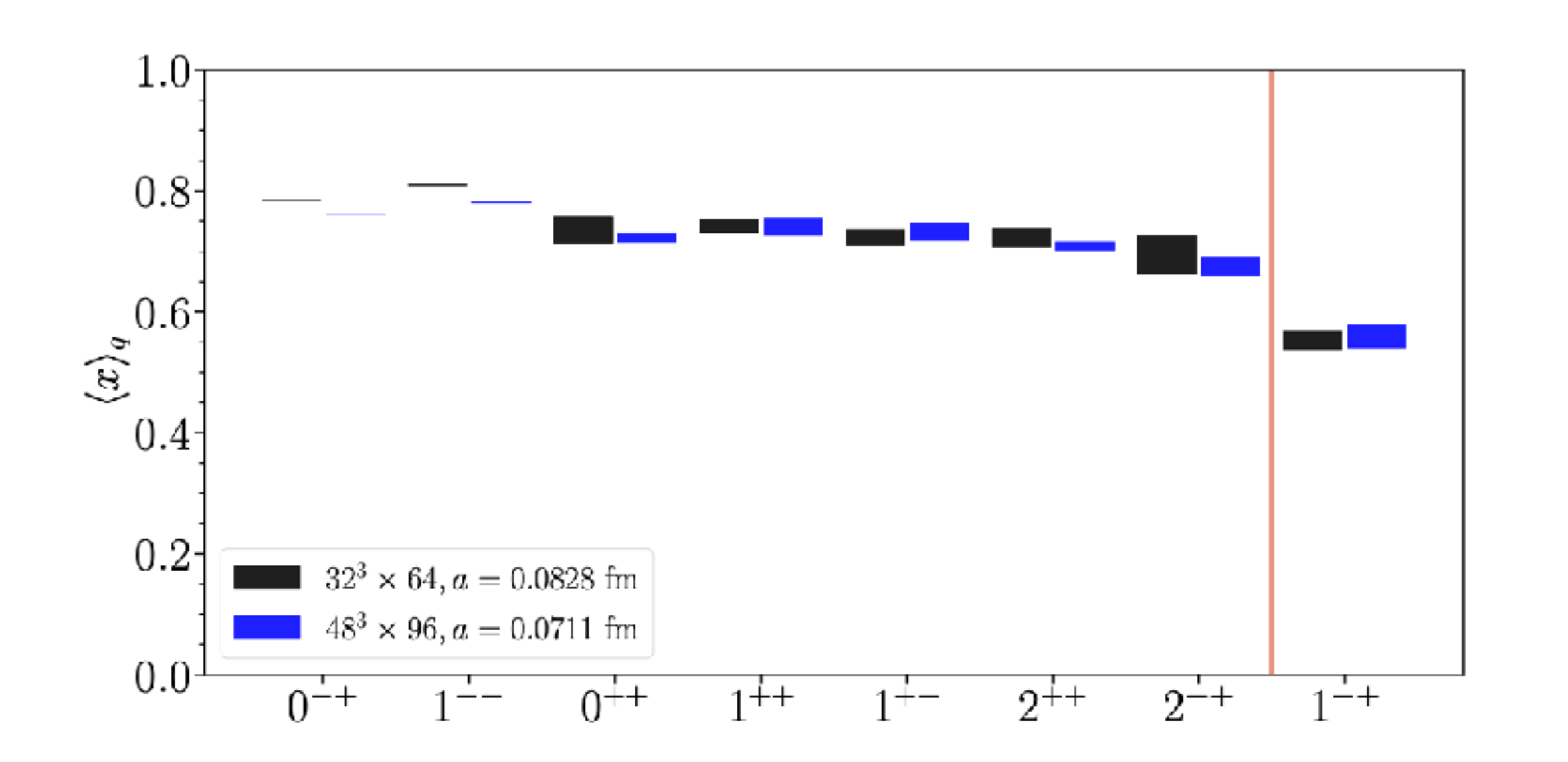
粲偶素质量分解

使用质量分解研究非基态粲偶素的初次尝试:

- 在各种粲偶素中,夸克总能量 $\langle H_q \rangle_H = \langle H_m \rangle_H + \langle H_E \rangle_H$ 几乎不依赖于强子态;
- 奇异量子数(1⁻⁺)的类粲偶素中粲夸 克动量分数明显偏低,可能是海夸克 或者胶子的贡献。



W. Sun et.al., ∠QCD, PRD 103 (2021) 094503

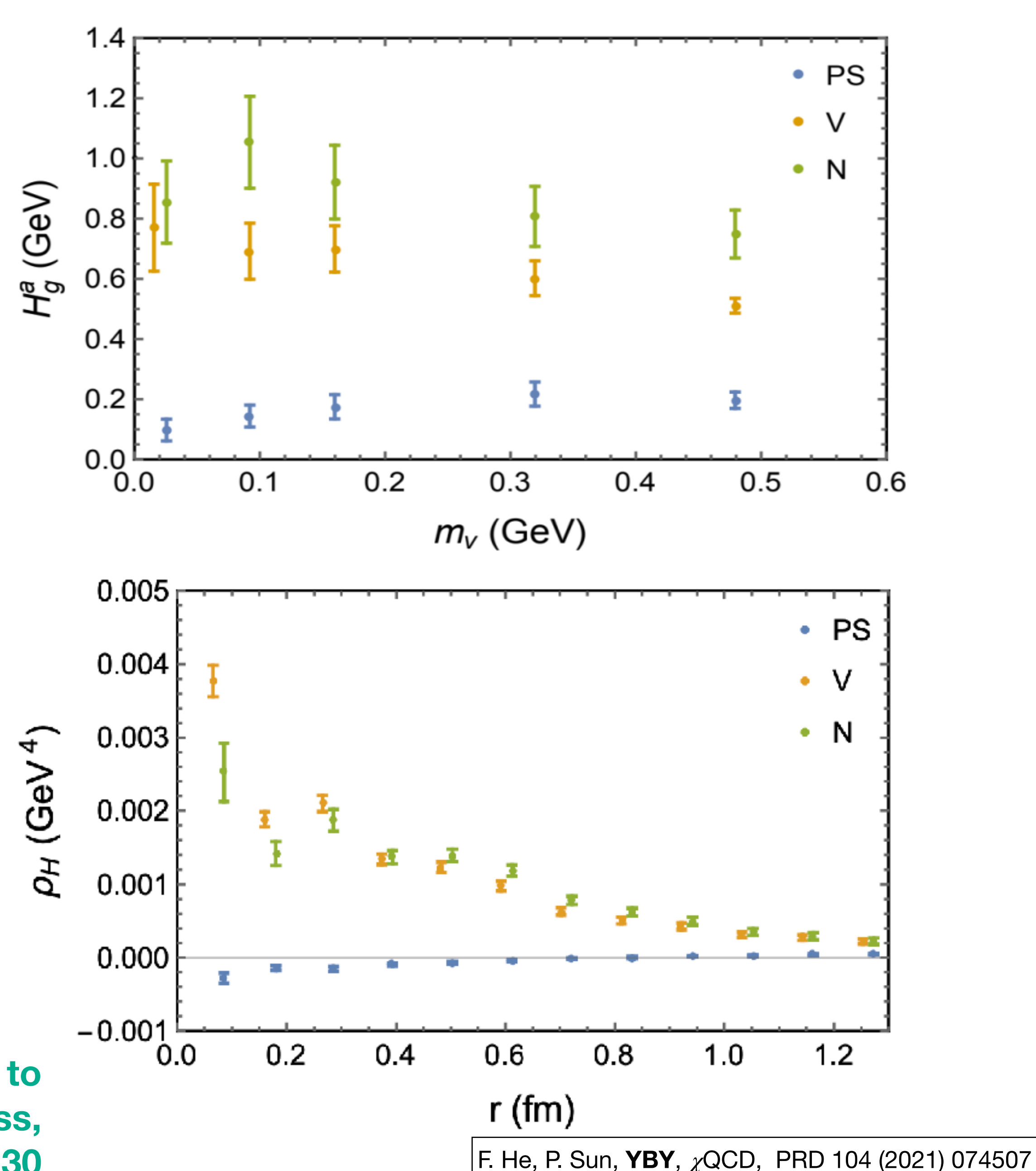


标度反常

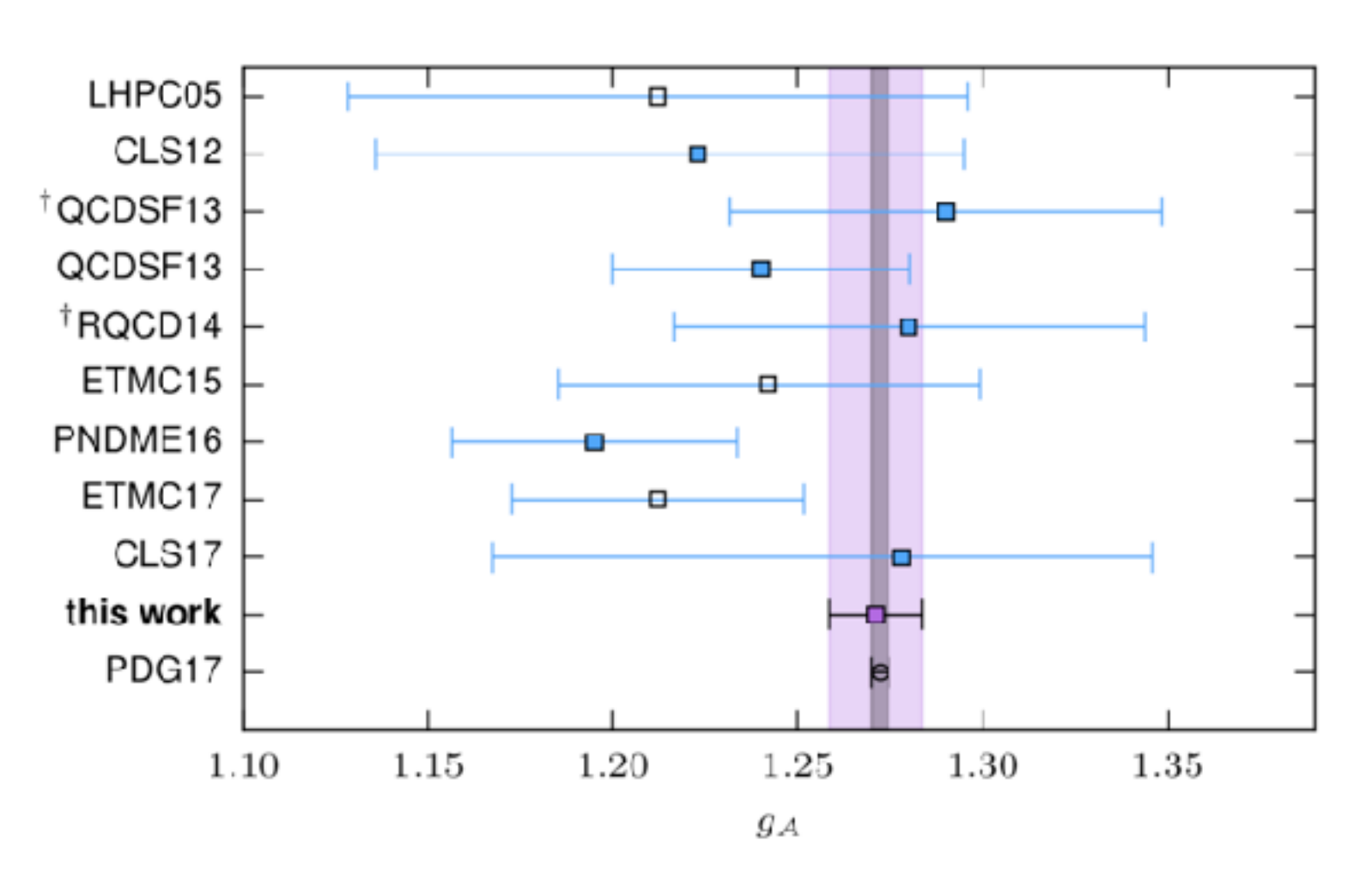
精确计算QCD标度反常贡献的初次尝试:

- 直接计算证实求和规则 $m_H = \langle H_m \rangle_H + \langle H_a \rangle_H$ 的系数与强子态无关,而胶子矩阵元的系数对应于耦合常数的反常量纲;
- 胶子的标度反常项 $\langle H_a^g \rangle_H$ 确实是核子质量中主要的贡献。
- 胶子标度反常在pion中的分布与其他强子中的情形有显著差异,尤其在强子中心。

The contribution of QCD trace anomaly to hadron mass, Fangcheng He, 11/01, 10:30



强子结构与标准模型精细检验

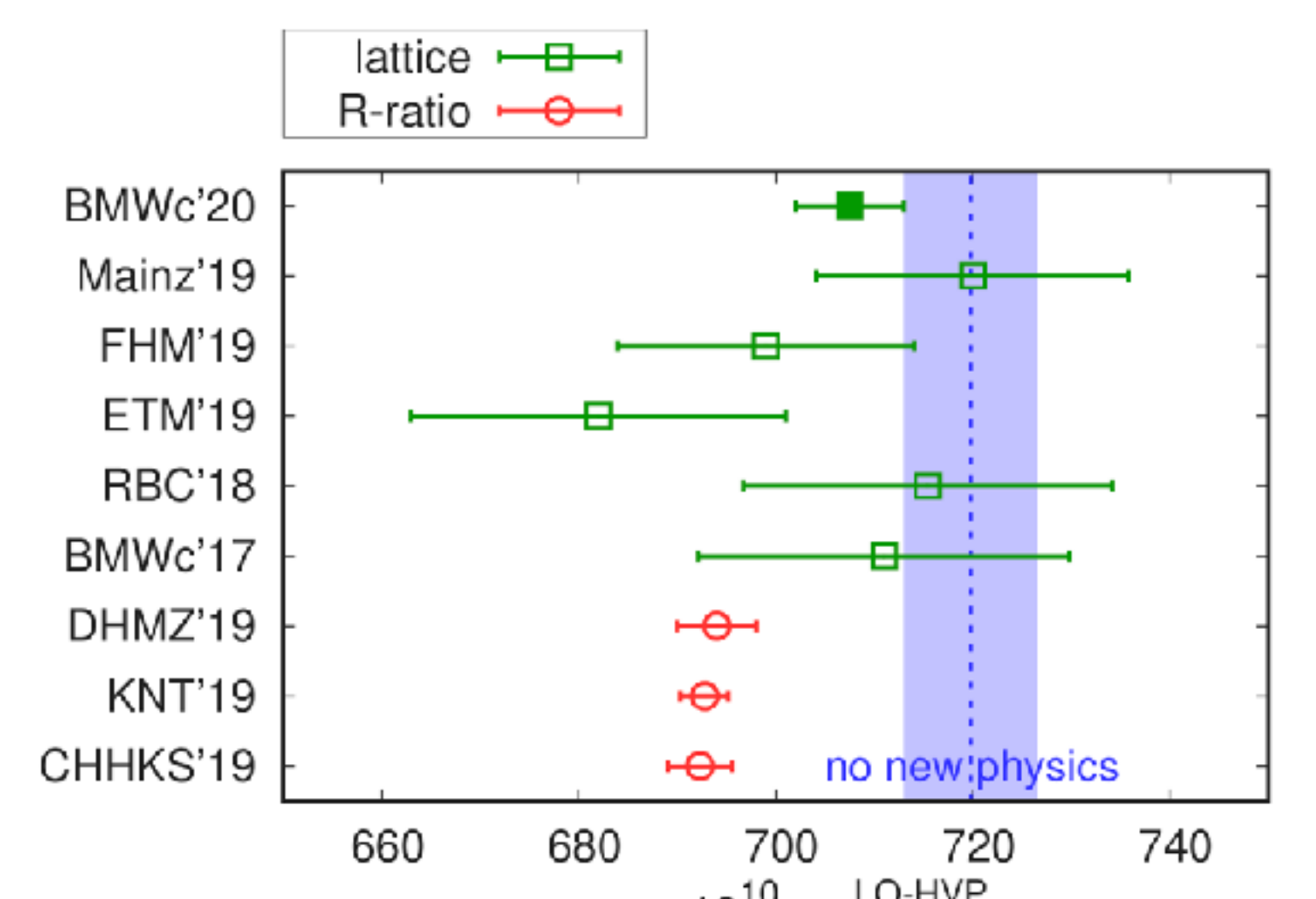


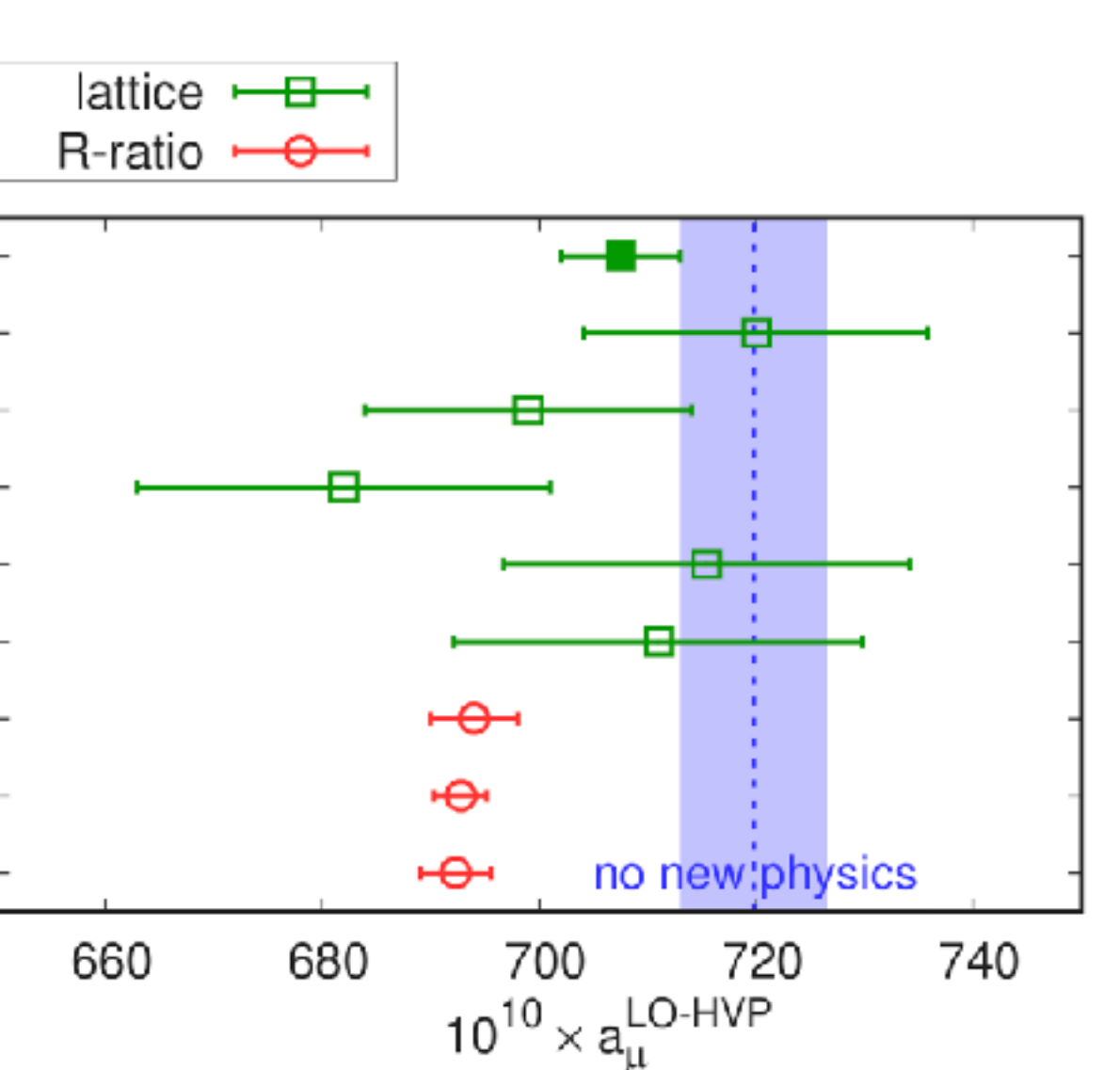
C.C.Chang, et.al. CalLat, Nature 558 (2018) 7708 核子轴矢流耦合强度

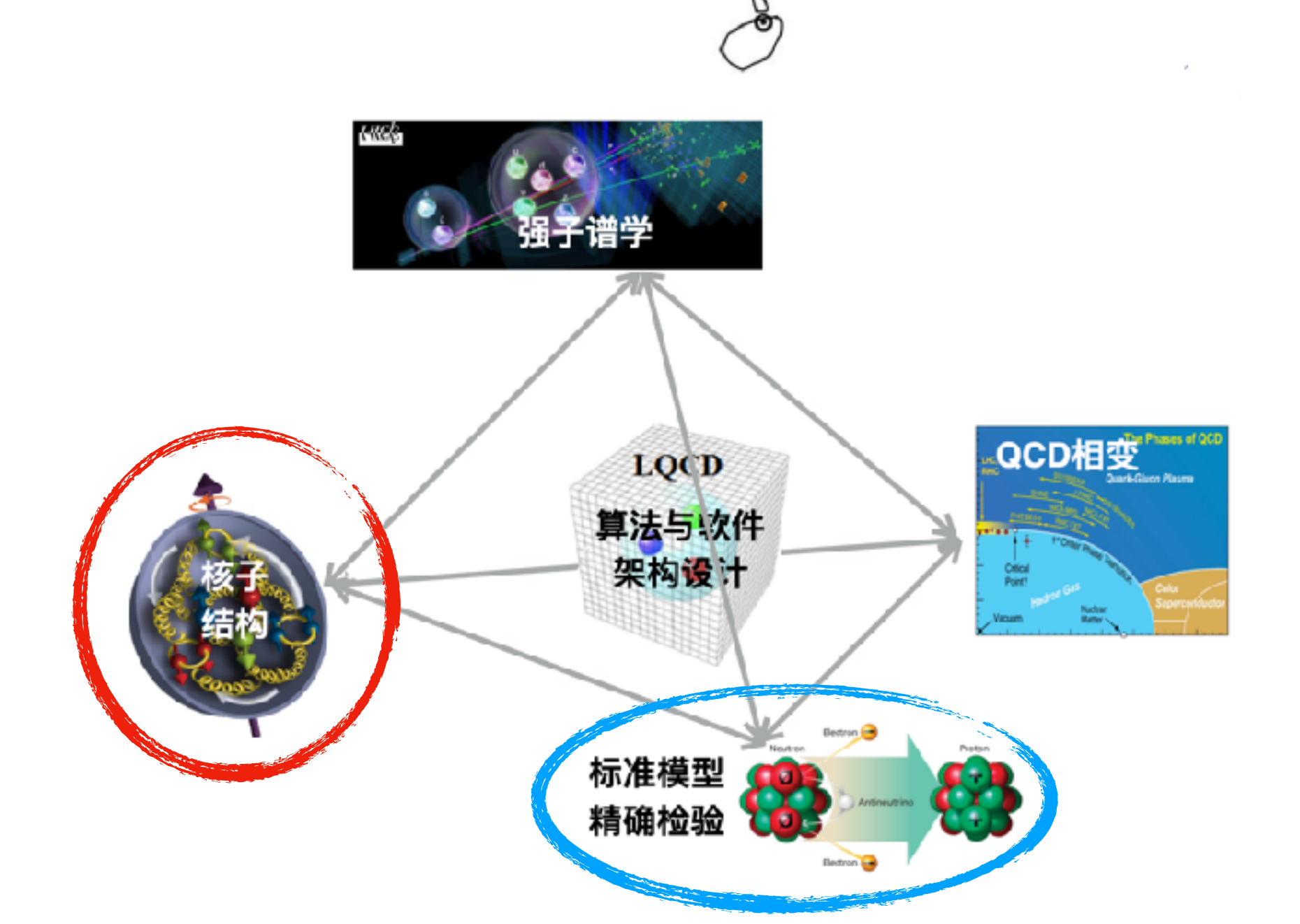
精细检验标准模型的有效途径;

• 成熟的强子结构计算最终会成为

• 需要精确控制格距、体积、夸克 质量、重整化、激发态等等因素 的系统误差。



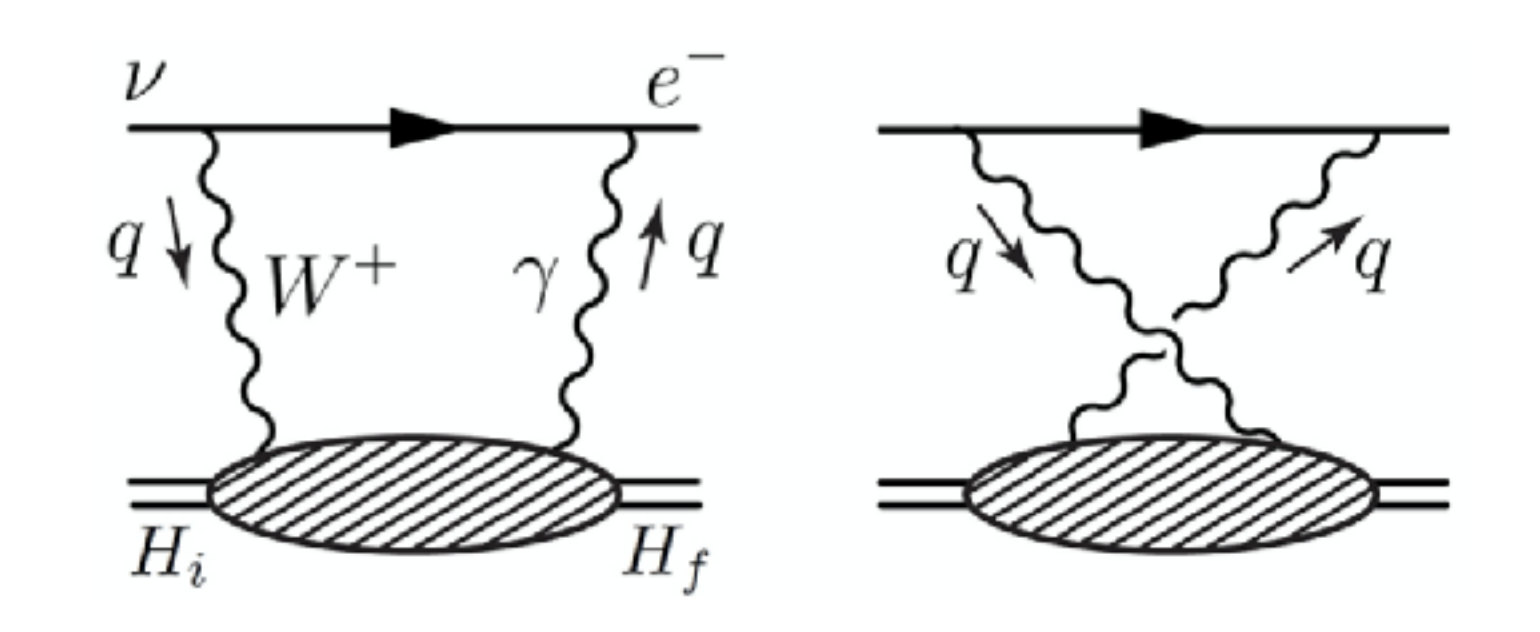




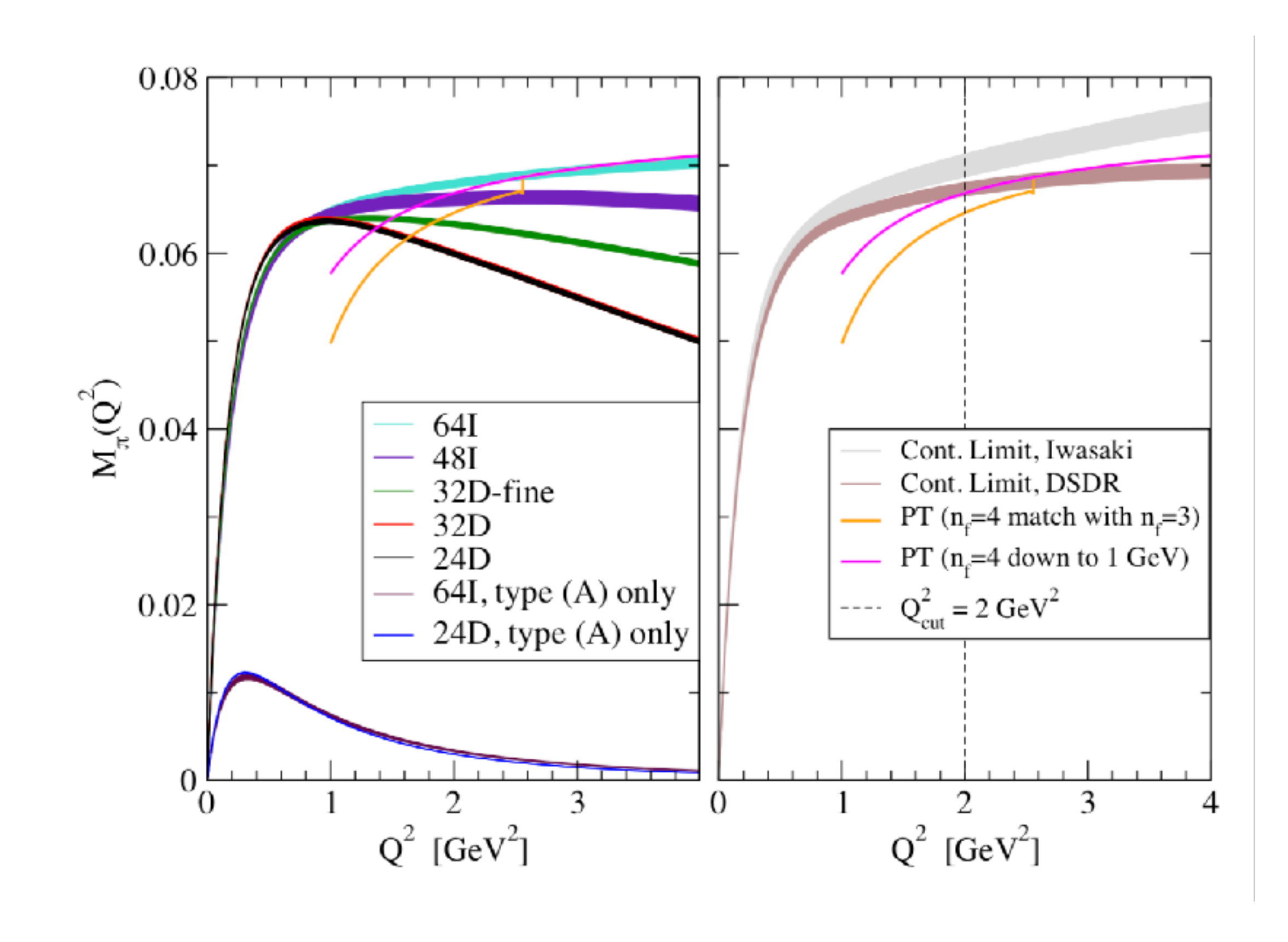
缪子反常磁矩的强子真空极化贡献

Sz. Borsanyi, et.al. BMWc, Nature 593 (2021) 7857

基于四点函数的CKM矩阵元精确计算

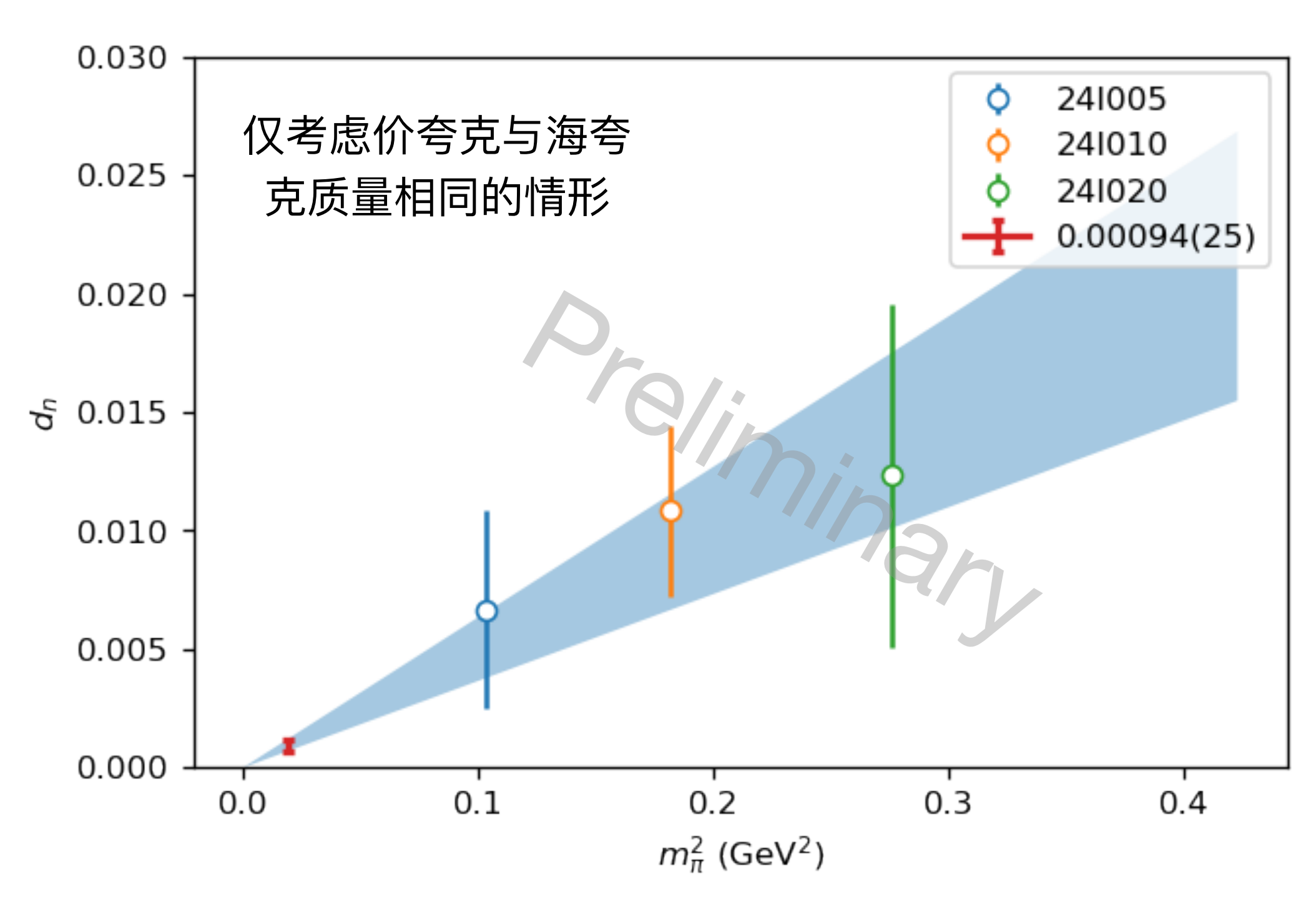


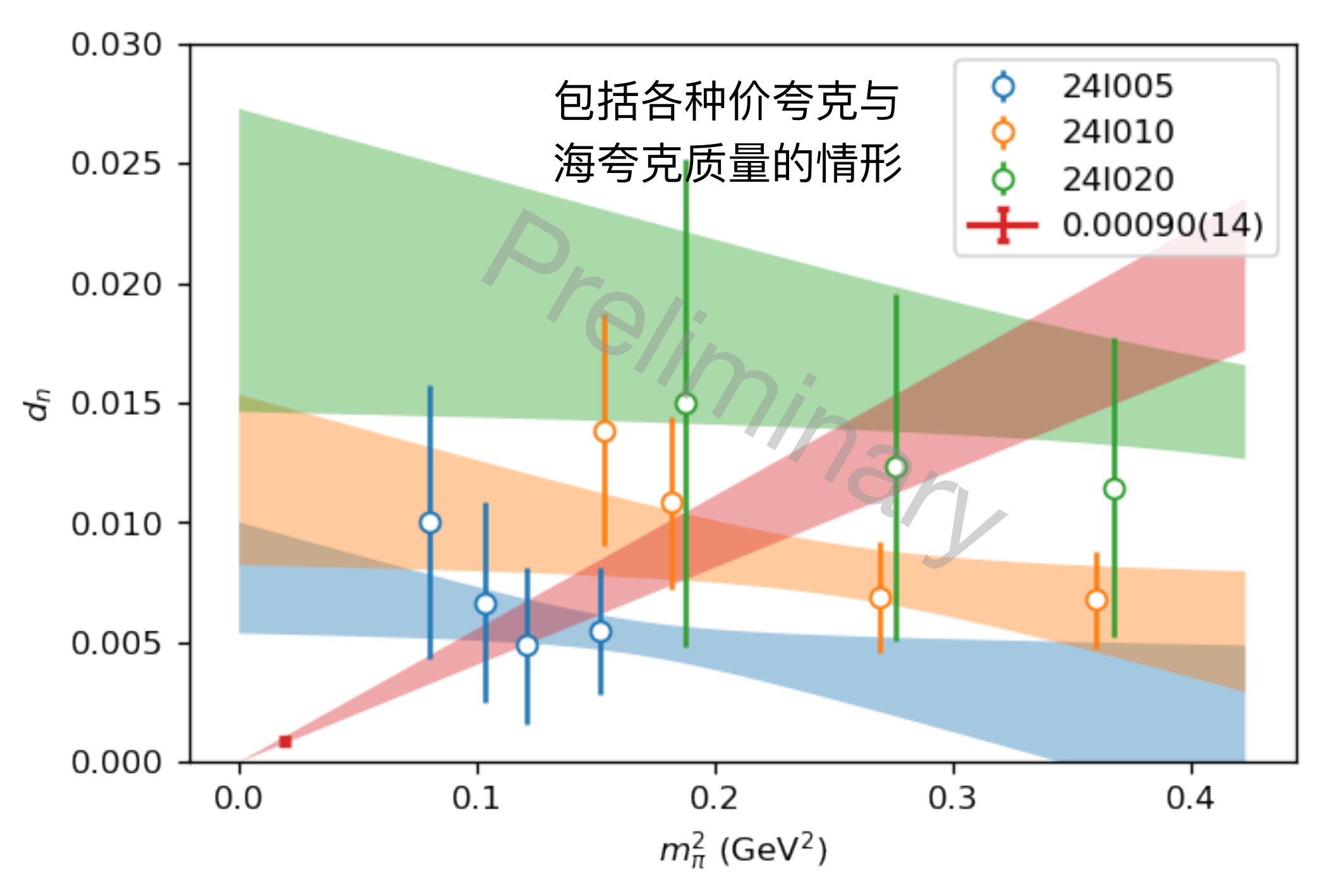
- 多个格距的美国RBC的2+1 domain wall组态
- PKU&Mainz&U. Connecticut
- 电弱Box图的高精度计算,总和误差低至1%;
- 结合格点长程计算和微扰短程计算;
- 预言 $|V_{ud}| = 0.9739(28)_{exp}(5)_{th}$ 。



基于手征费米子 8 项的中子EDM

手征费米子保证了即使在有限格距上的手征极限下也有 $d_n \to 0$ 。所以可以用较重的夸克质量来研究EDM。





$$d_{n}^{(PQ)} = \frac{e \overline{\theta} m_{\text{sea}}}{4\pi^{2} f^{2}} \left[F_{\pi} \log \left(\frac{m_{\pi}^{2}}{\mu^{2}} \right) + F_{J} \log \left(\frac{m_{J}^{2}}{\mu^{2}} \right) \right]$$

$$+ \overline{\theta} \frac{e}{\Lambda_{\chi}^{2}} \left[\frac{m_{\text{sea}}}{2} c(\mu) + d (m_{\text{sea}} - m_{\text{val}}) + f q_{jl} (m_{\text{sea}} - m_{\text{val}}) \right]$$

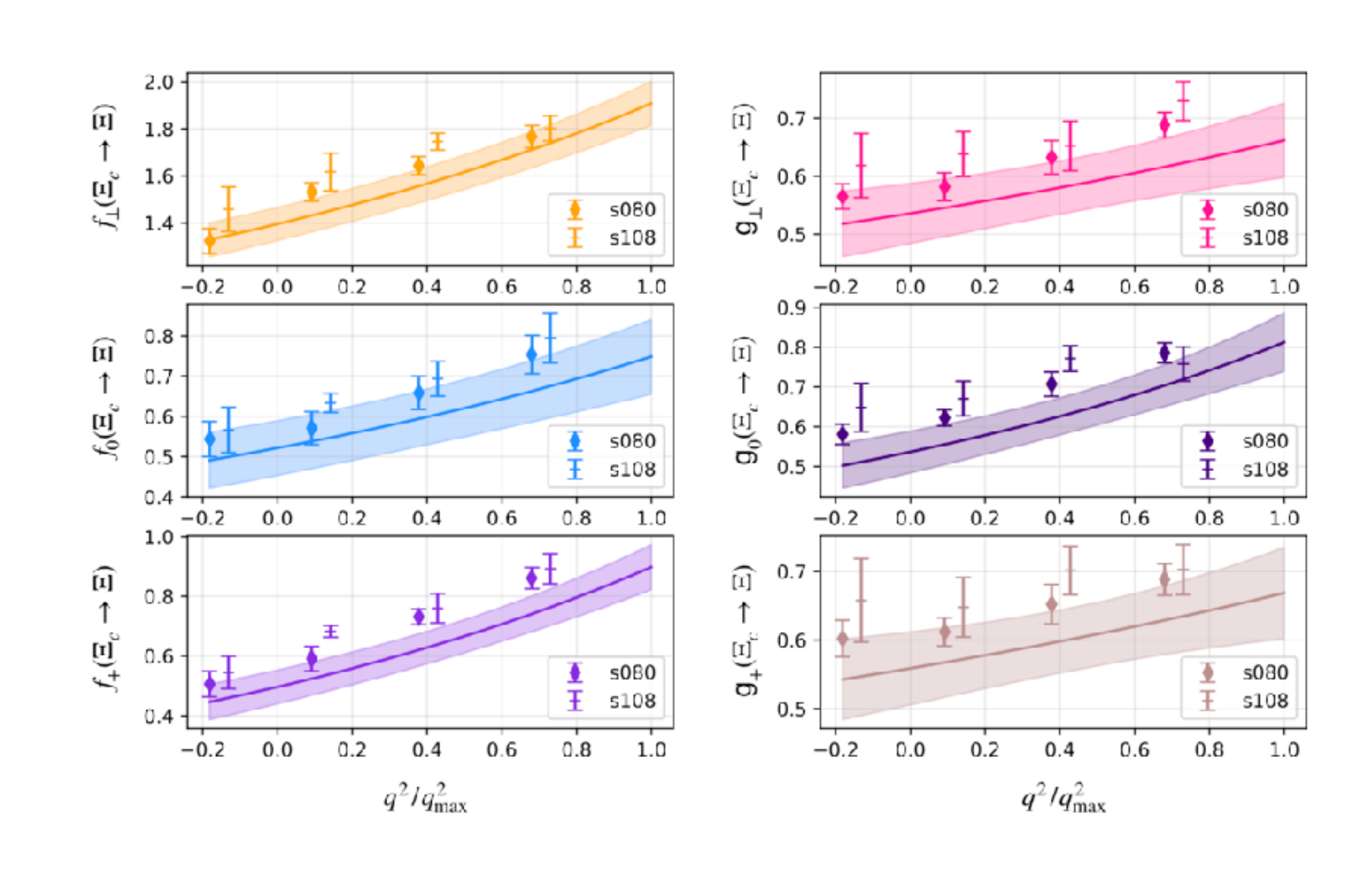
EDM对价夸克与海夸克的依赖有显著差异!

J. Liang et al., χ QCD, In preparation

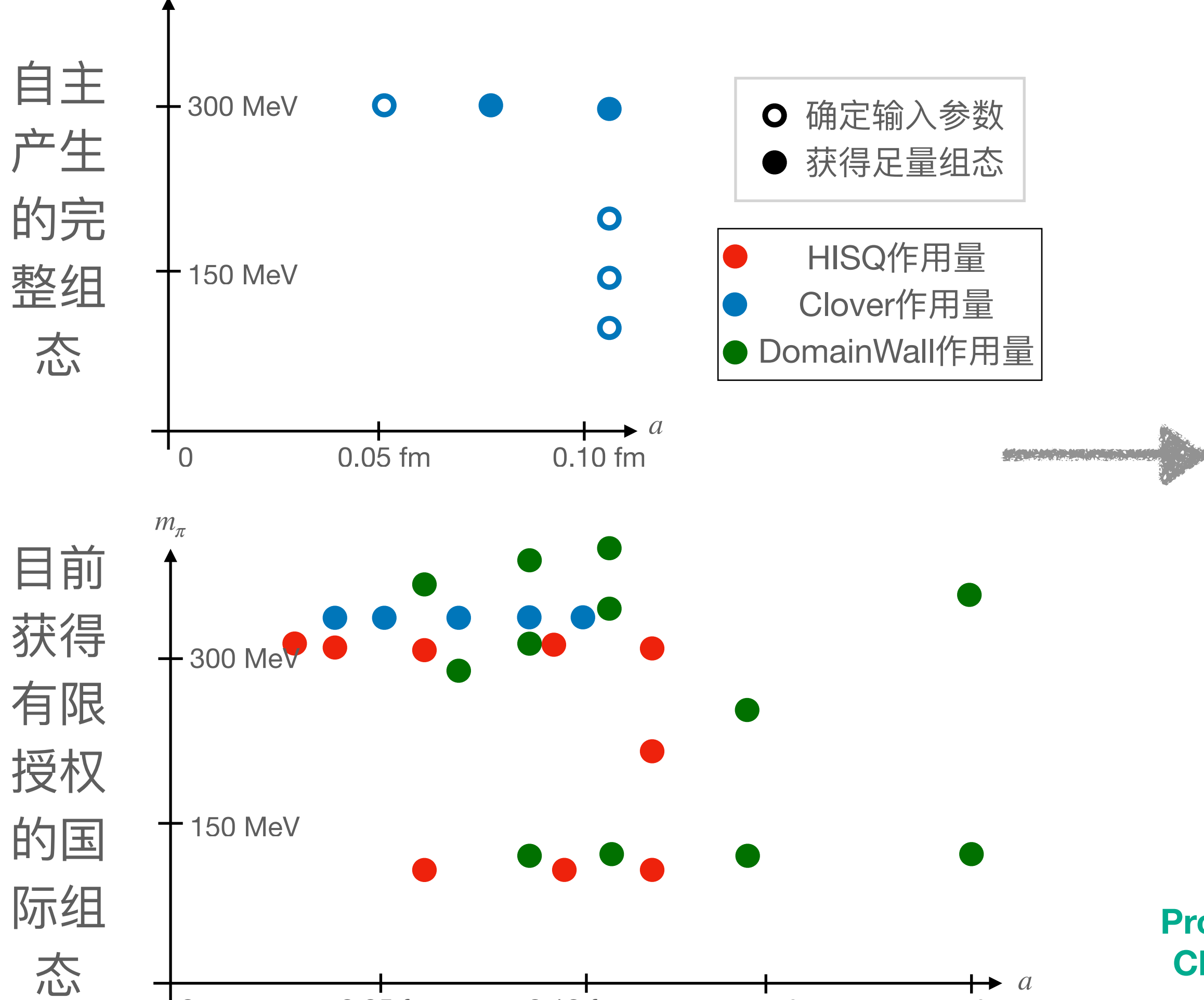
自主的精确检验计算

- 完全自主的2+1味Clover组态, a=0.11/0.08fm;
- 首个关于 $\Xi_c \to \Xi \pi \pi \pi$ 因子的理论计算;
- 结合Belle实验,预言 $|V_{cs}| = 0.834(127)_{exp}(74)_{th}$;
- 需要进一步控制来自格距和pion质量等方面的系统误差。

Weak Decays of Charmed Baryons from LQCD, Wei Wang, 10/31, 14:00



强子结构与软件和数据



0.10 fm

0.15 fm

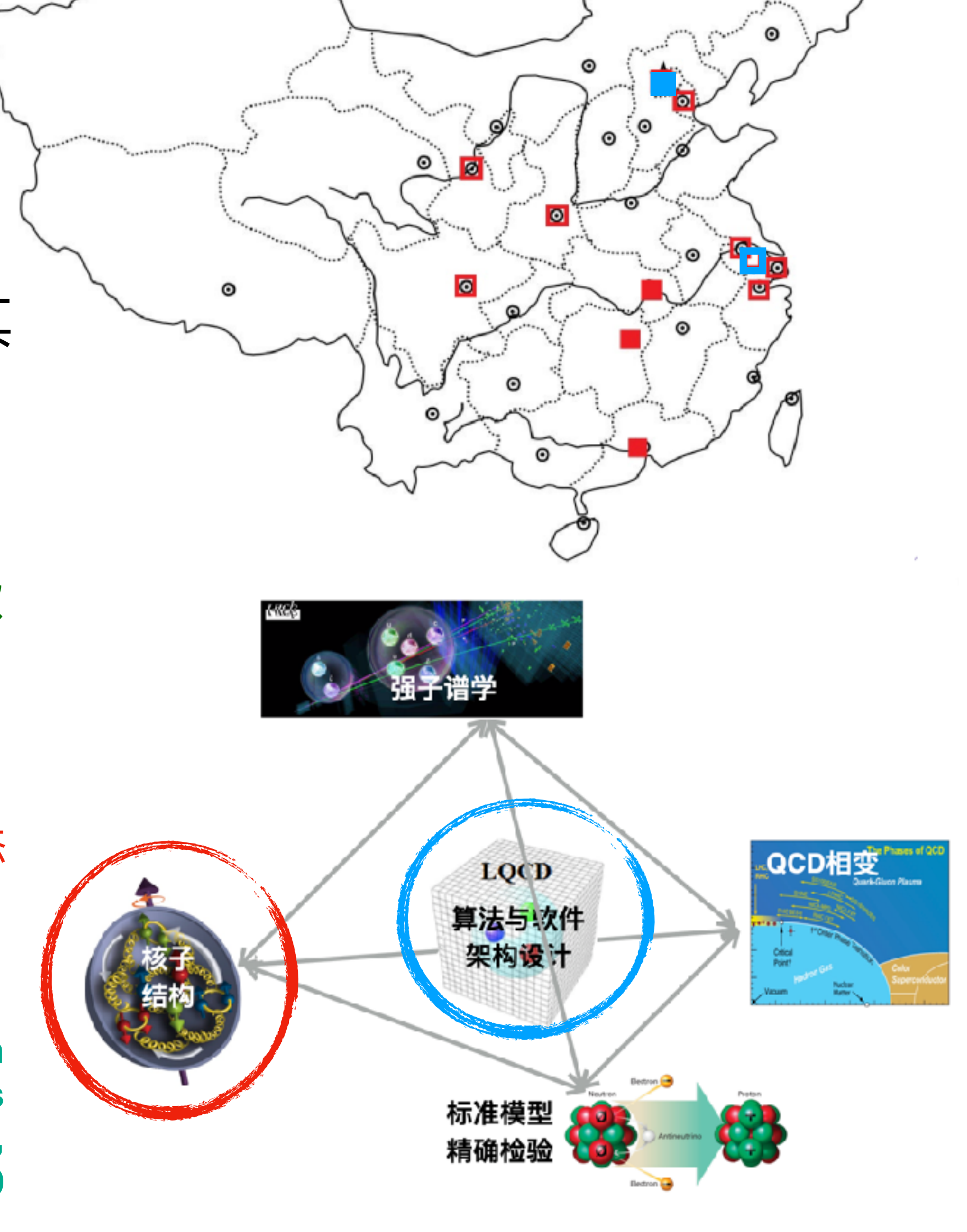
0.20 fm

0.05 fm

实现(强子结构 计算所需的)组 态自主化正当其 时:

- Clover组态正在产 生中;
- DomainWall组态软件已经开源并可以高效运行,但是还需要优化;
- 高效产生HISQ组态 理论上可行,但还 需要实际调试。

Propagator generation with Chroma+QUDA for various fermion actions, Kuan Zhang, 11/02, 17:10



格点量子色动力学FLAG国际"绿星"标准

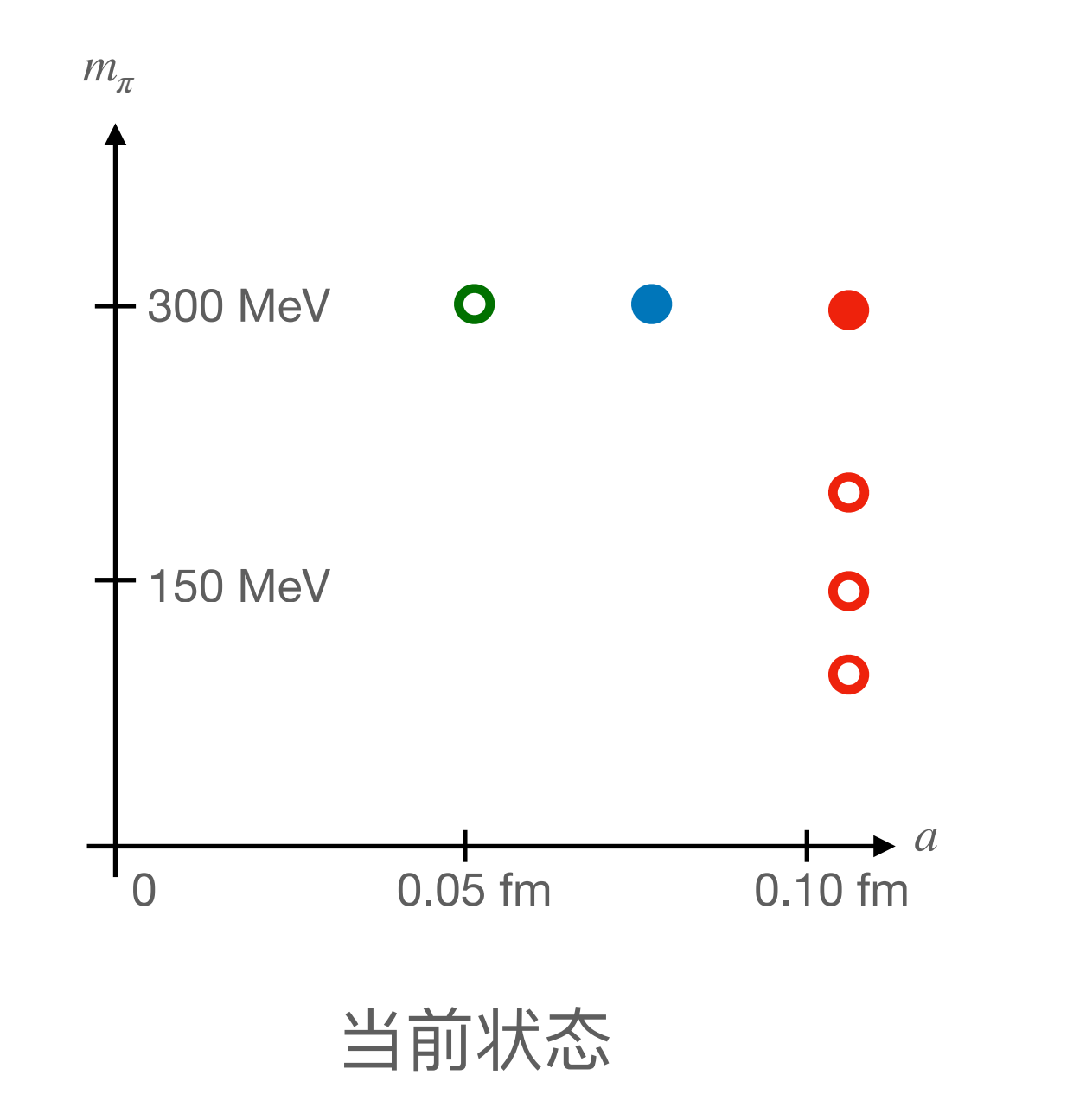
physical point, Wei Sun, 11/02, 16:00

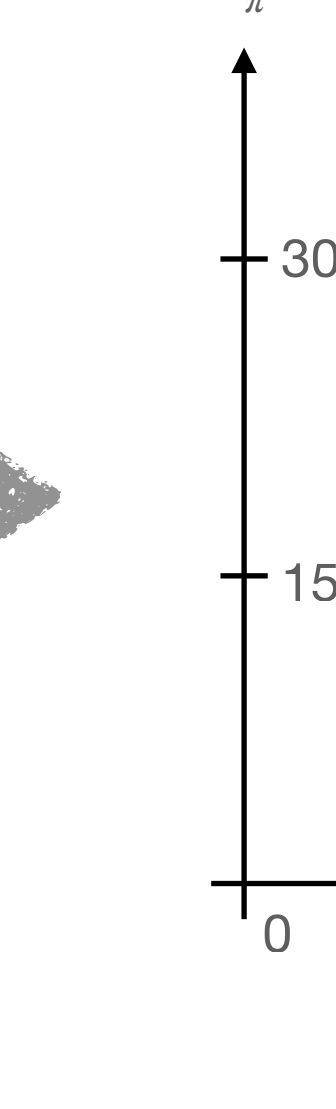
- 组态自主化是计算精度具有国际竞争力 的前提;
- 组态参数集合达到绿星标准是用于标准 模型精细检验的基础。
- 主要贡献者: 孙鹏、刘柳明、杨一玻、 孙玮......

- 三种不同的 m_{π} 而且最轻 m_{π} 的小于200 MeV,或一个 $m_{\pi} \sim 135$ MeV而另一个 $m_{\pi} < 200$ MeV;
- 三种不同格距a, 其中两个a < 0.1 fm, 而且 $(a_{max}/a_{min})^2 \ge 2$;
- $(m_{\pi,\min}/M_{\pi,\text{phys}})^2 \exp\{4 m_{\pi,\min}L\} < 2$,或者至少三种体积。

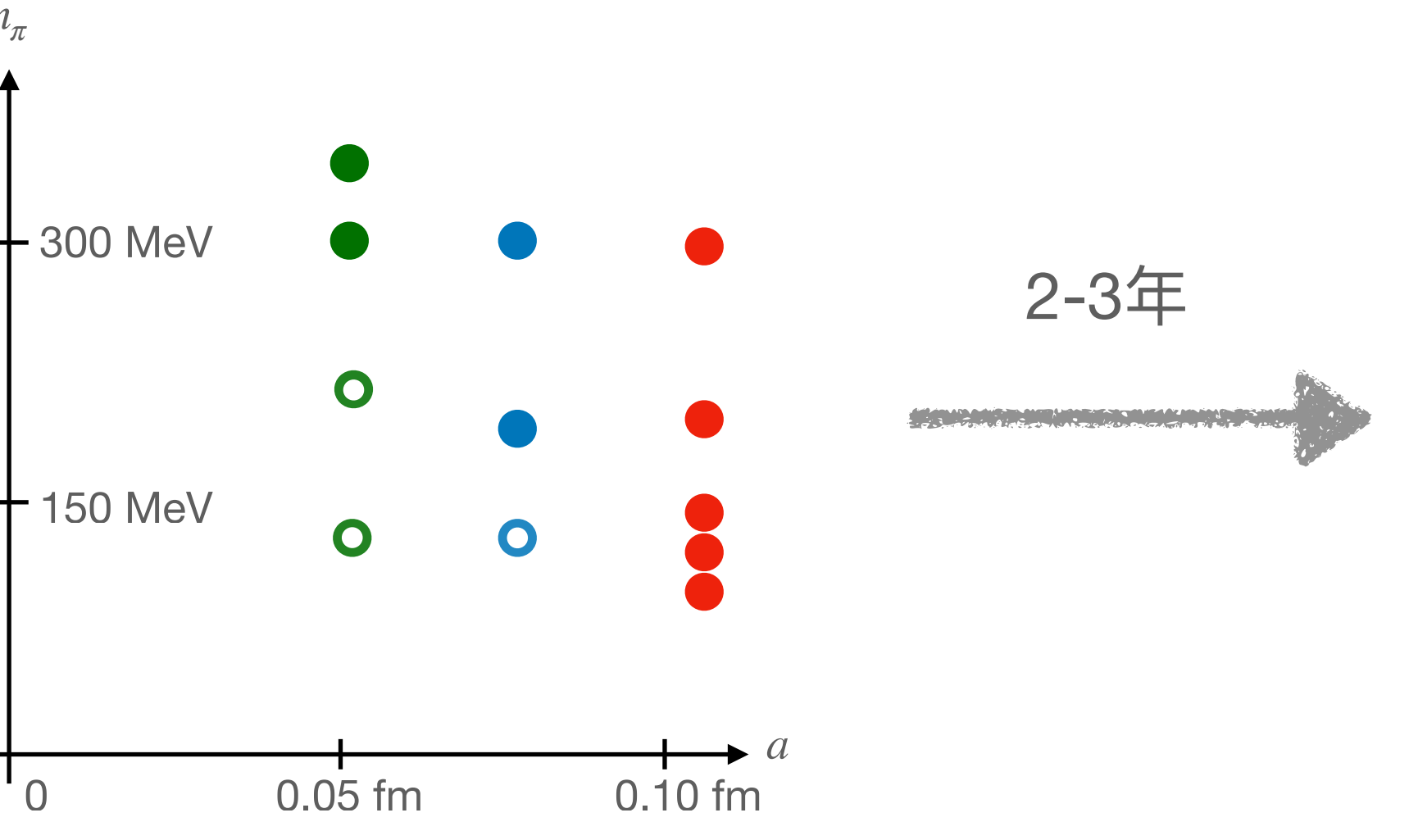
• 确定输入参数

● 获得足量组态

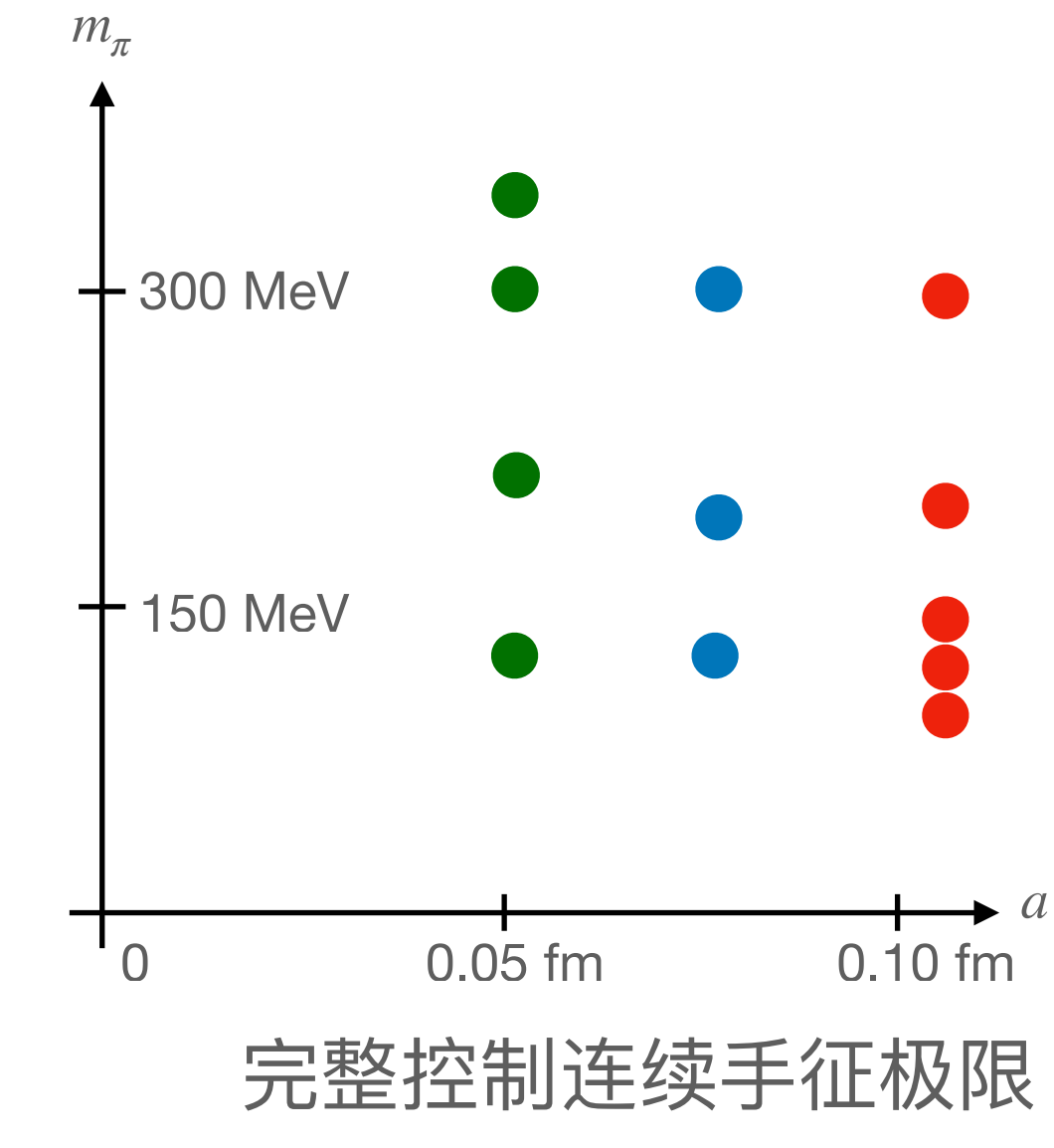




1-2年

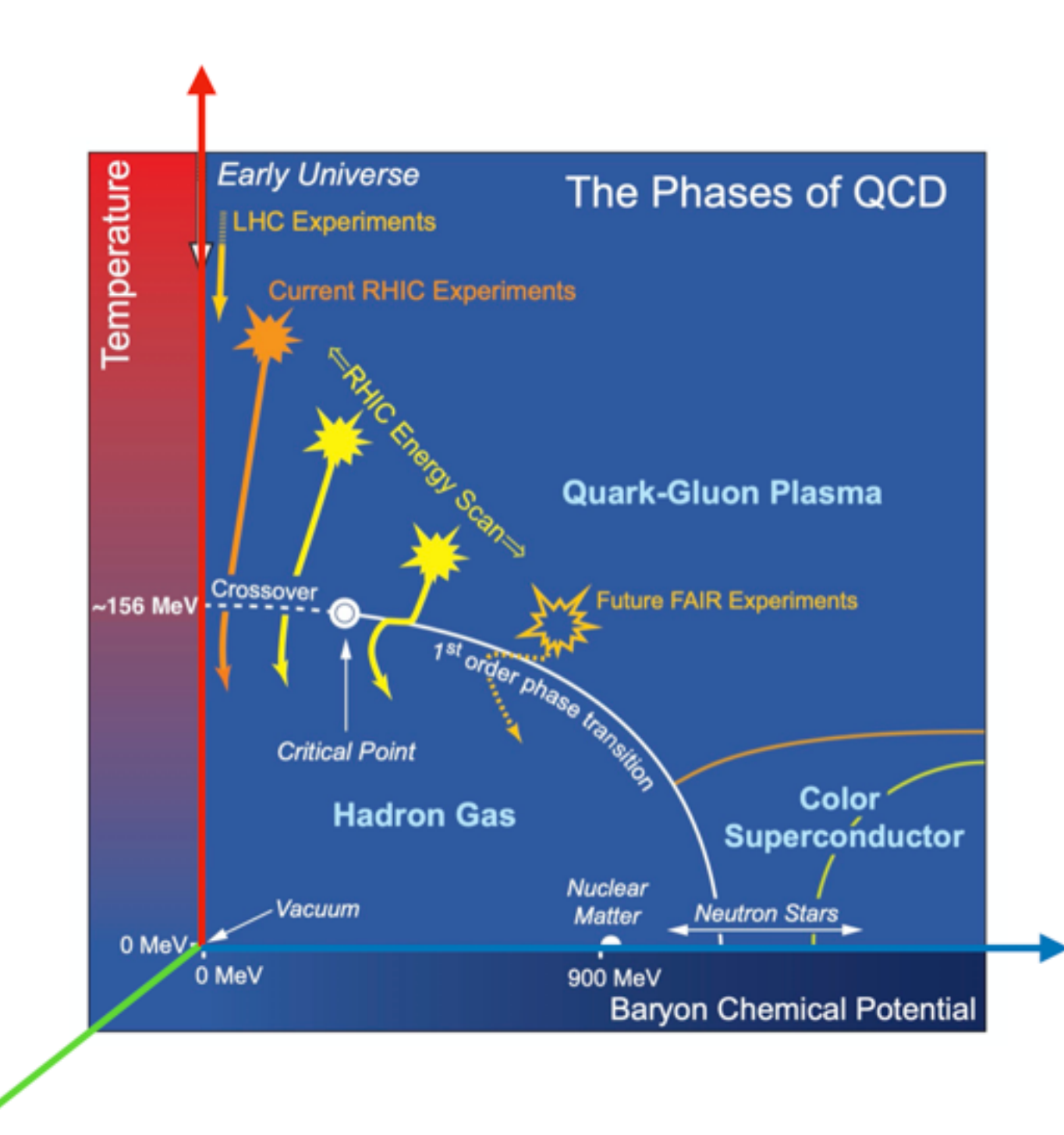




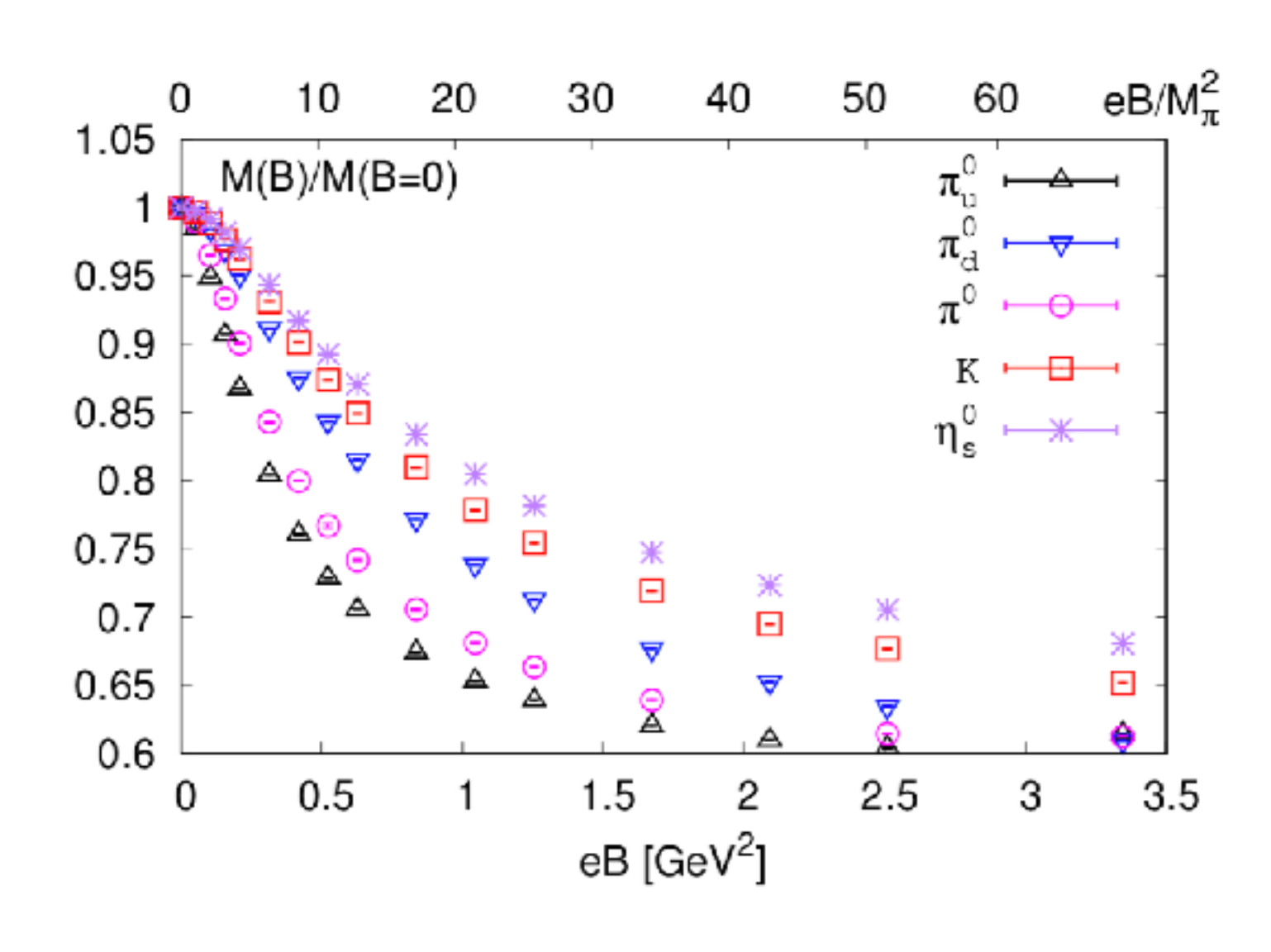


系统误差的要求

强子结构与 极端条件下的QCD

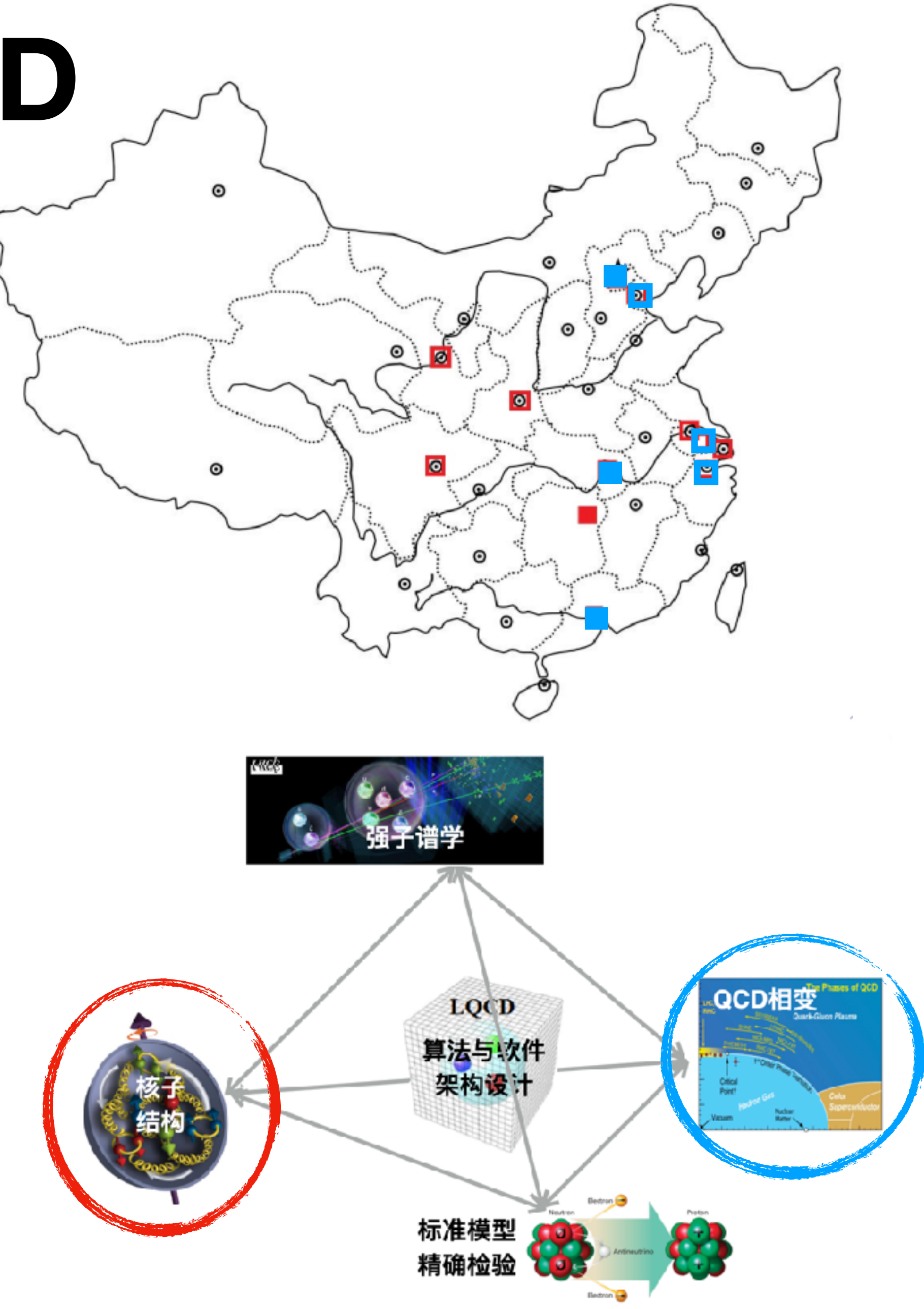


 m_q, eB



H.T. Ding, et al., PRD 104 (2021) 014505

- 介子质量在强磁场下会有显著变化;
- 这些改变来自于夸克质量/动能, 胶子动能/反常中的那些部分?



总结

依托各高校与科研院所,以及科技部重点研发专项、中科院先导专项的支持,格点 QCD的强子结构研究近年来已经取得了长足的进步:

- 成立了LPC合作组针对部分子性质开展系统性研究;
- 为强子质量提供谱学以外的另一个视角;
- 以需求牵引推动QCD组态自主化,控制各种系统误差;
- 力争实现自主化的标准模型精细检验研究,并探索使用强子结构方法研究极端条件QCD的可能性。